

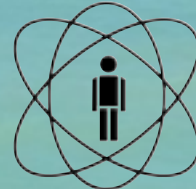
CURSO DE COSMOLOGIA

2013B

AULA 2

MARTÍN MAKLER
CBPF

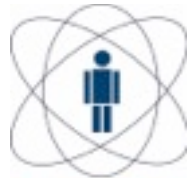
ICRA



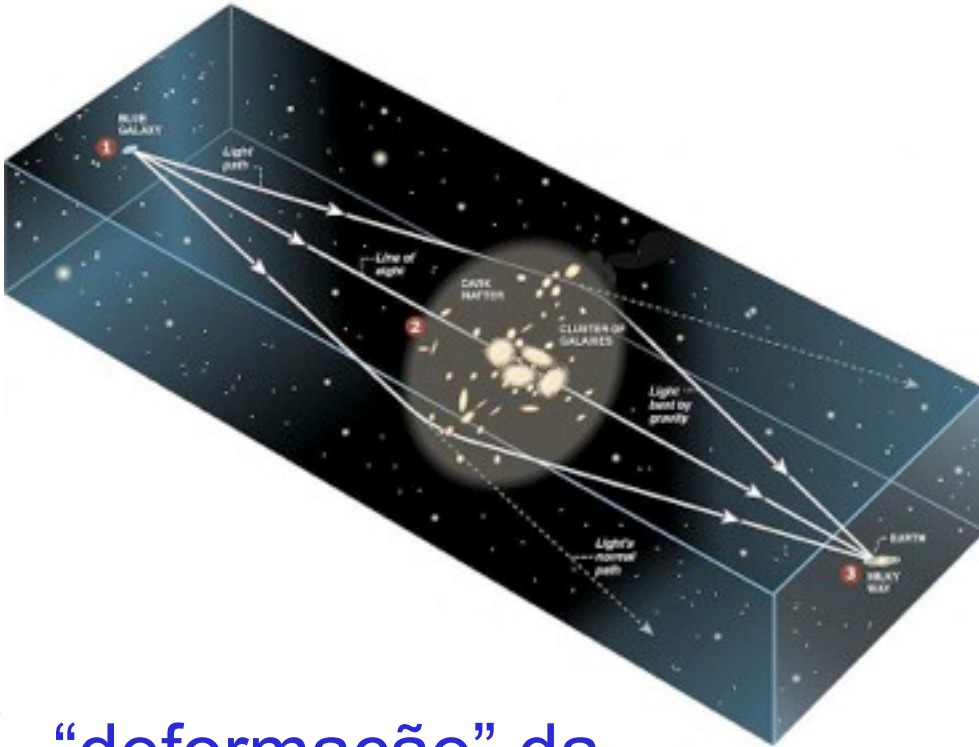
CBPF

MCTI

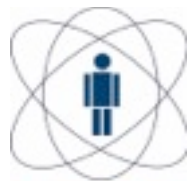




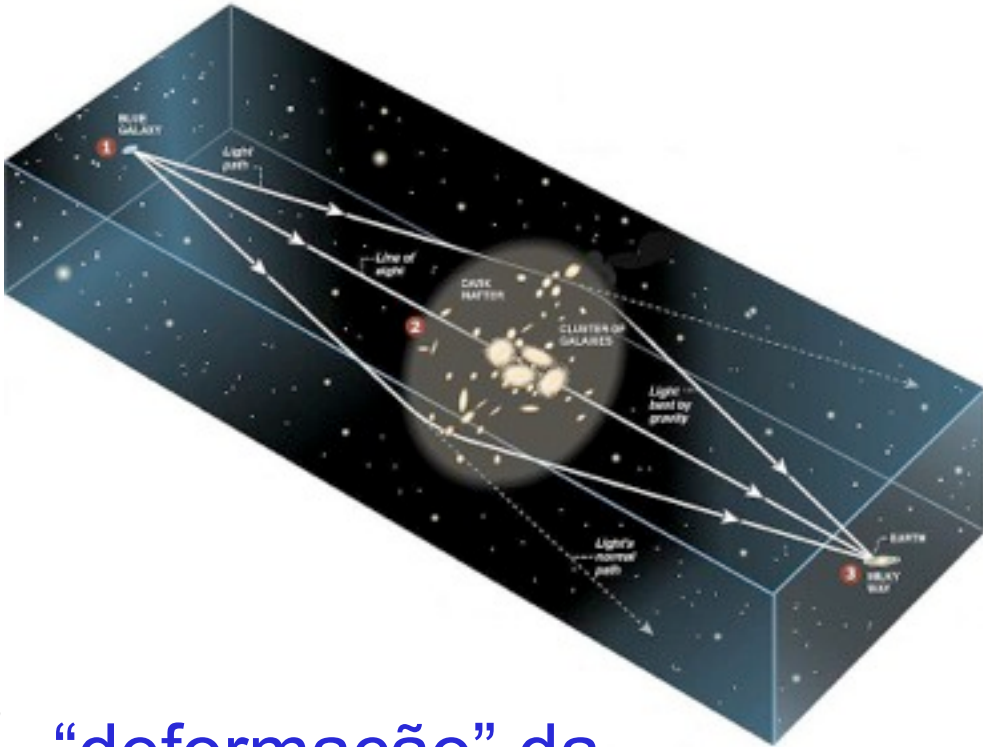
Lentes Gravitacionais



“deformação” da
trajetória da luz pelo
espaço-tempo curvo



Lentes Gravitacionais



“deformação” da
trajetória da luz pelo
espaço-tempo curvo

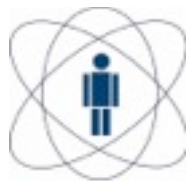


Gravitational Lens
Galaxy Cluster 0024+1654
Hubble Space Telescope - WFPC2

FRC96-10 • ST Sci OPO • April 24, 1996 • W. Colley (Princeton Univ.), NASA



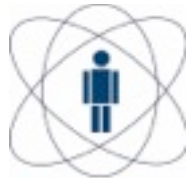
Imagens múltiplas



Efeito fraco de lente

- ➊ Deformação (e magnificação) das imagens de galáxias de fundo
- ➋ Orientações na direção tangencial
- ➌ Efeito estatístico
- ➍ A matéria escura é menos concentrada





Efeito fraco de lente

- ➊ Deformação (e magnificação) das imagens de galáxias de fundo
- ➋ Orientações nas direções tangenciais
- ➌ Efeito estatístico
- ➍ A matéria escura é menos concentrada

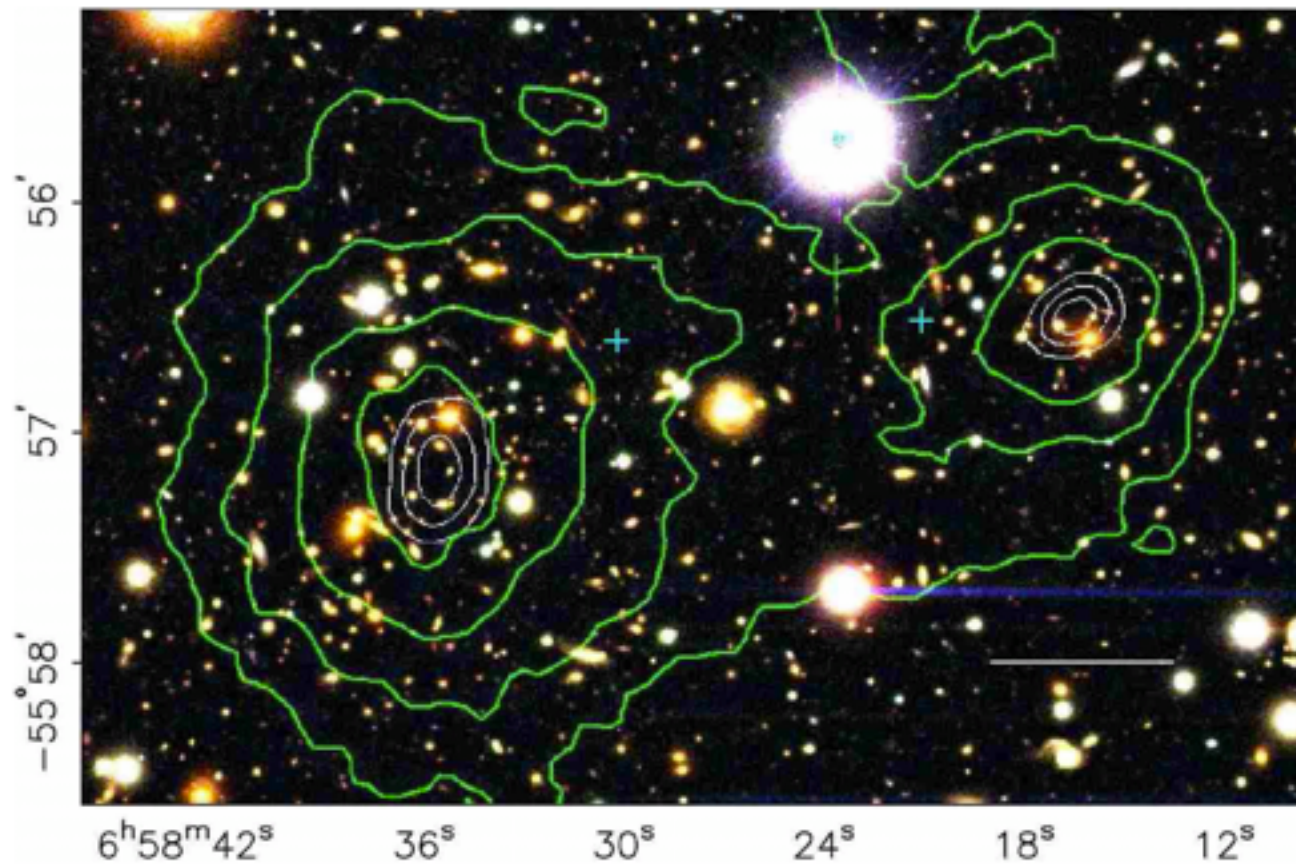
Matéria
Escura





O Aglomerado da bala

- Imagem ótica + sinal de lentes



astro-ph/0608407

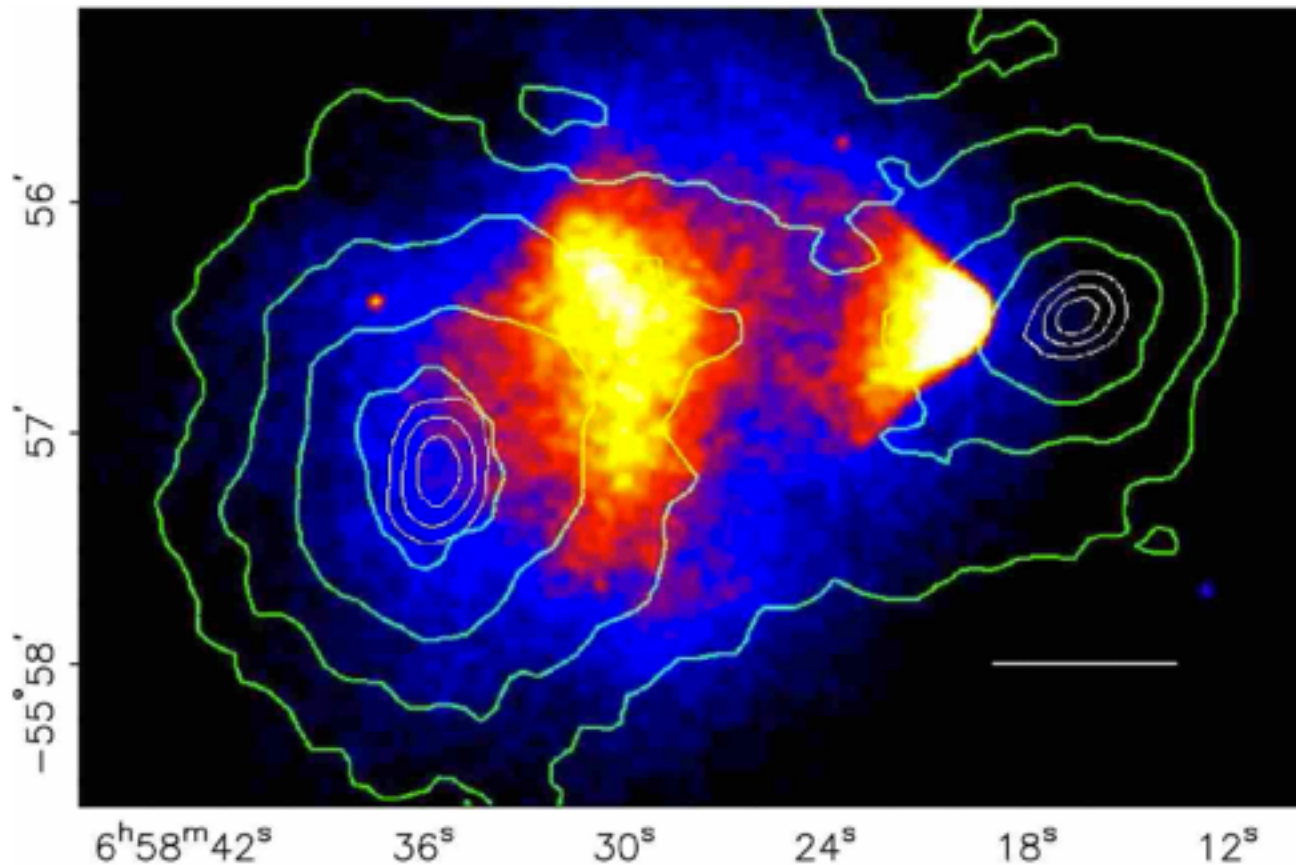
© Copyleft Martín Makler

Reconstrução da massa usando o fenômeno de lente gravitacional



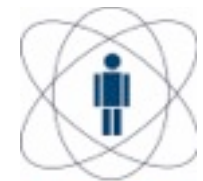
Evidência para a matéria escura

- Distribuição do gás (maior parte da matéria bariônica)



astro-ph/0608407

Desvio de 8σ nos centros das distribuições

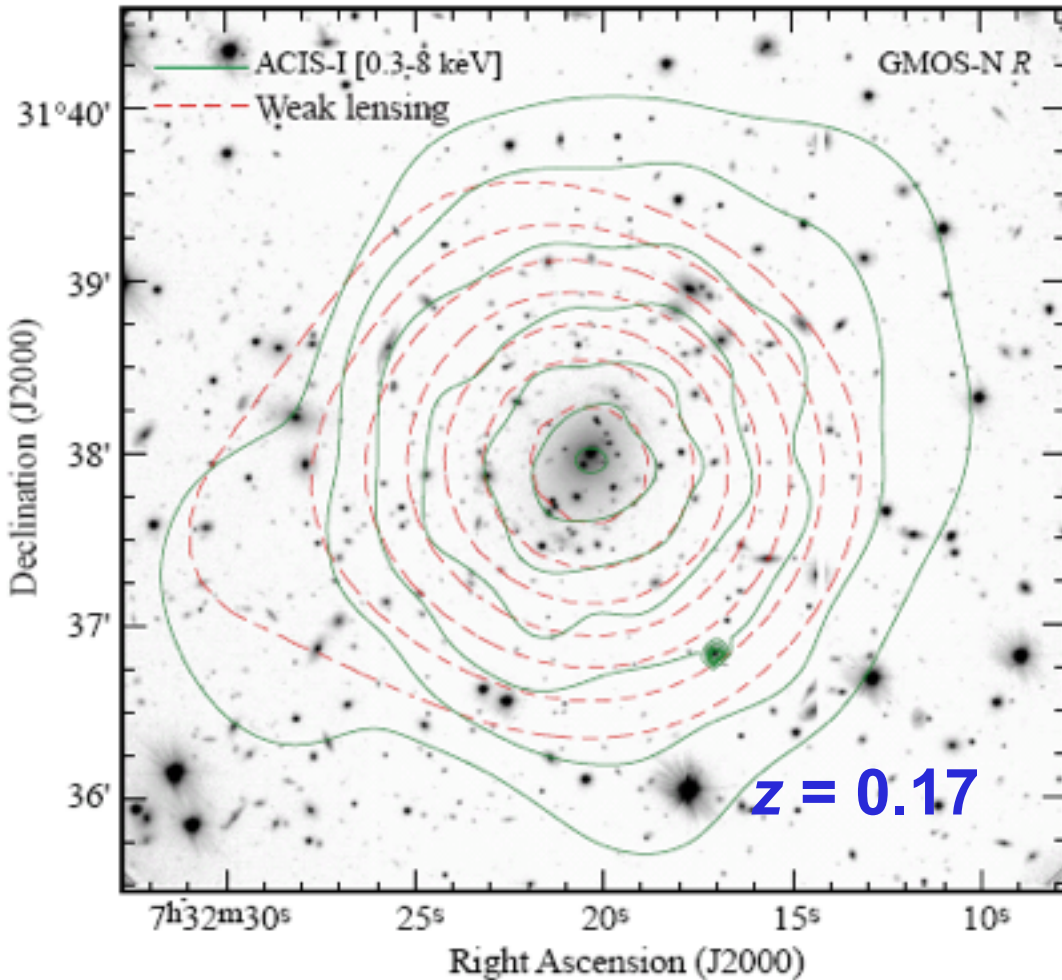


Anel de matéria escura

- Ópticos
(HST)
+ lenteamento
fraco



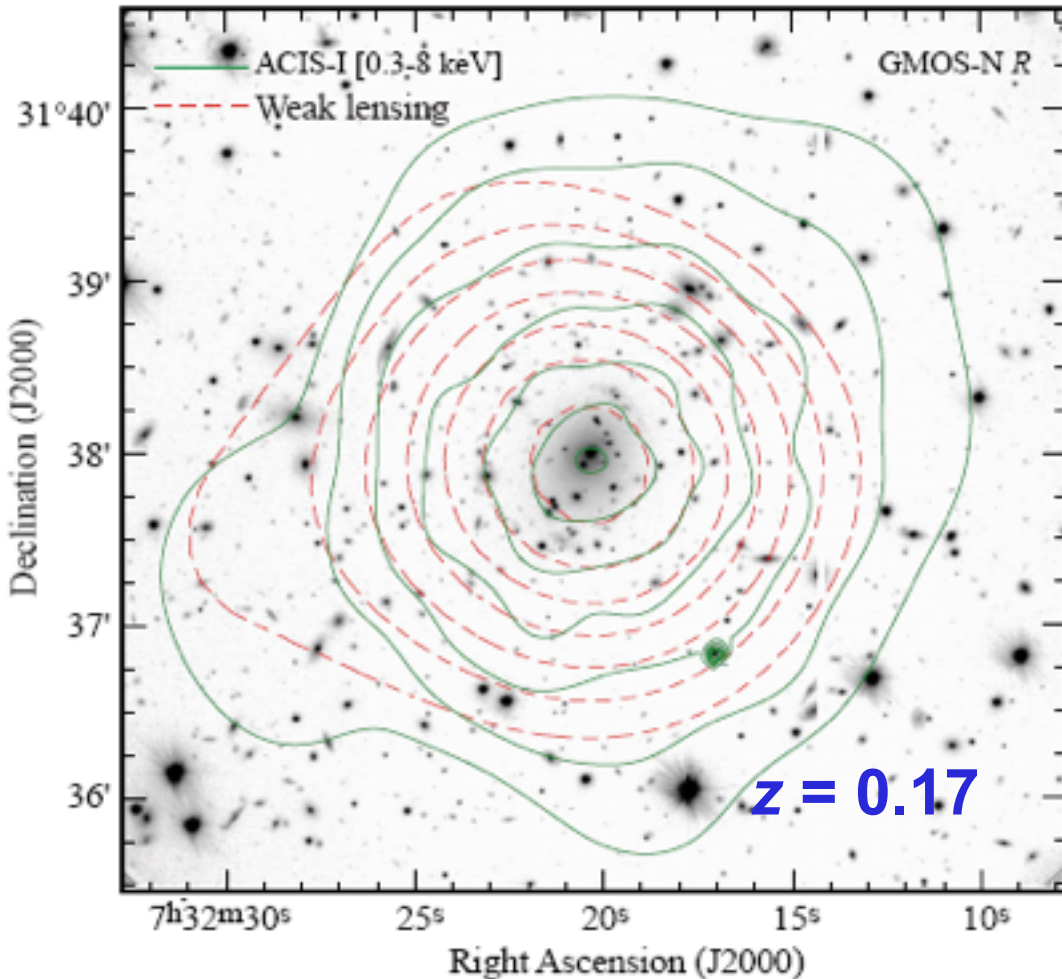
Comparação entre medidas da matéria escura em aglomerados



- efeito fraco de lente gravitacional
 - emissão de raios-x
 - dispersão de velocidades
- concordam em $\sim 20\%$
(para aglomerados relaxados)

E. S. Cypriano, et al., astro-ph/0504036

Comparação entre medidas da matéria escura em aglomerados



- efeito fraco de lente gravitacional
 - emissão de raios-x
 - dispersão de velocidades
- concordam em $\sim 20\%$ (para aglomerados relaxados)

**Matéria escura é
menos concentrada**

E. S. Cypriano, et al., astro-ph/0504036



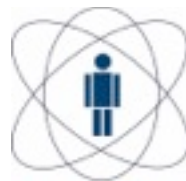
A Matéria Escura em Galáxias

● Curvas de rotação de galáxias

Estimativa simples:

$$G \frac{M(r)}{r^2} = \frac{[V(r)]^2}{r}$$



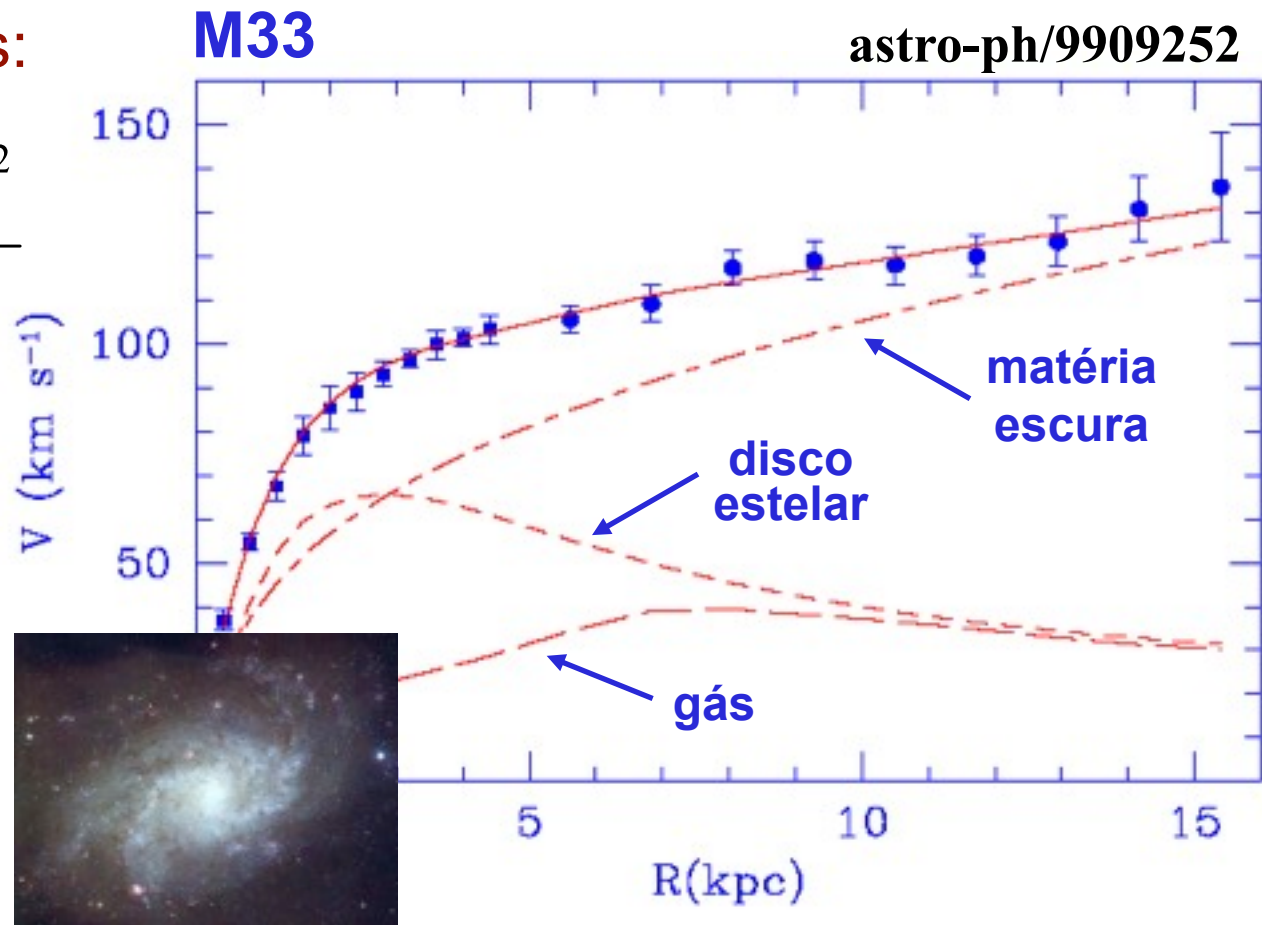


A Matéria Escura em Galáxias

● Curvas de rotação de galáxias

Estimativa simples:

$$G \frac{M(r)}{r^2} = \frac{[V(r)]}{r}$$



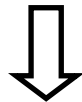


A Matéria Escura em Galáxias

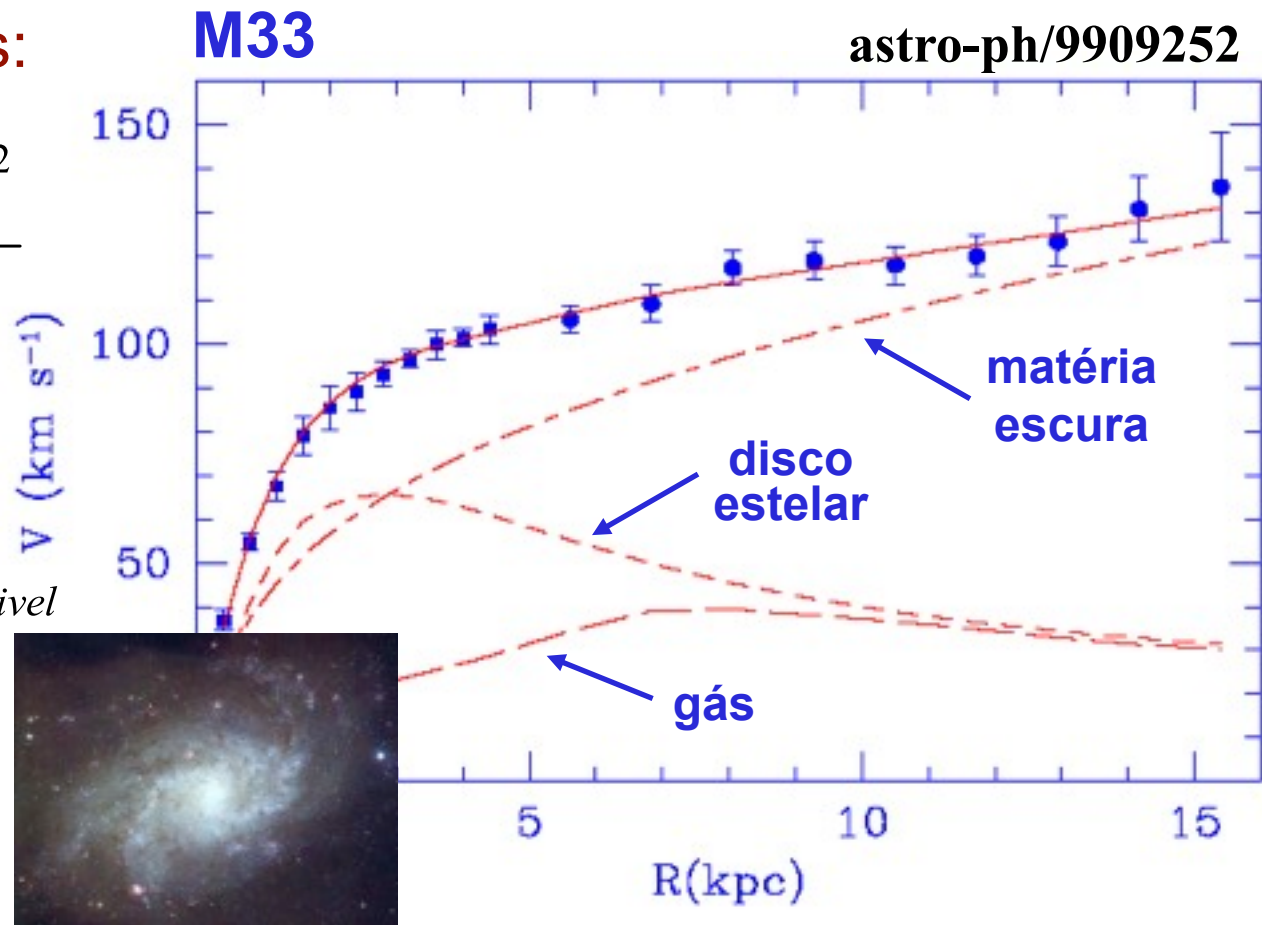
● Curvas de rotação de galáxias

Estimativa simples:

$$G \frac{M(r)}{r^2} = \frac{[V(r)]^2}{r}$$



$$M_{Halo} \approx 3 - 10 M_{Visivel}$$



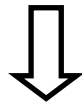


A Matéria Escura em Galáxias

● Curvas de rotação de galáxias

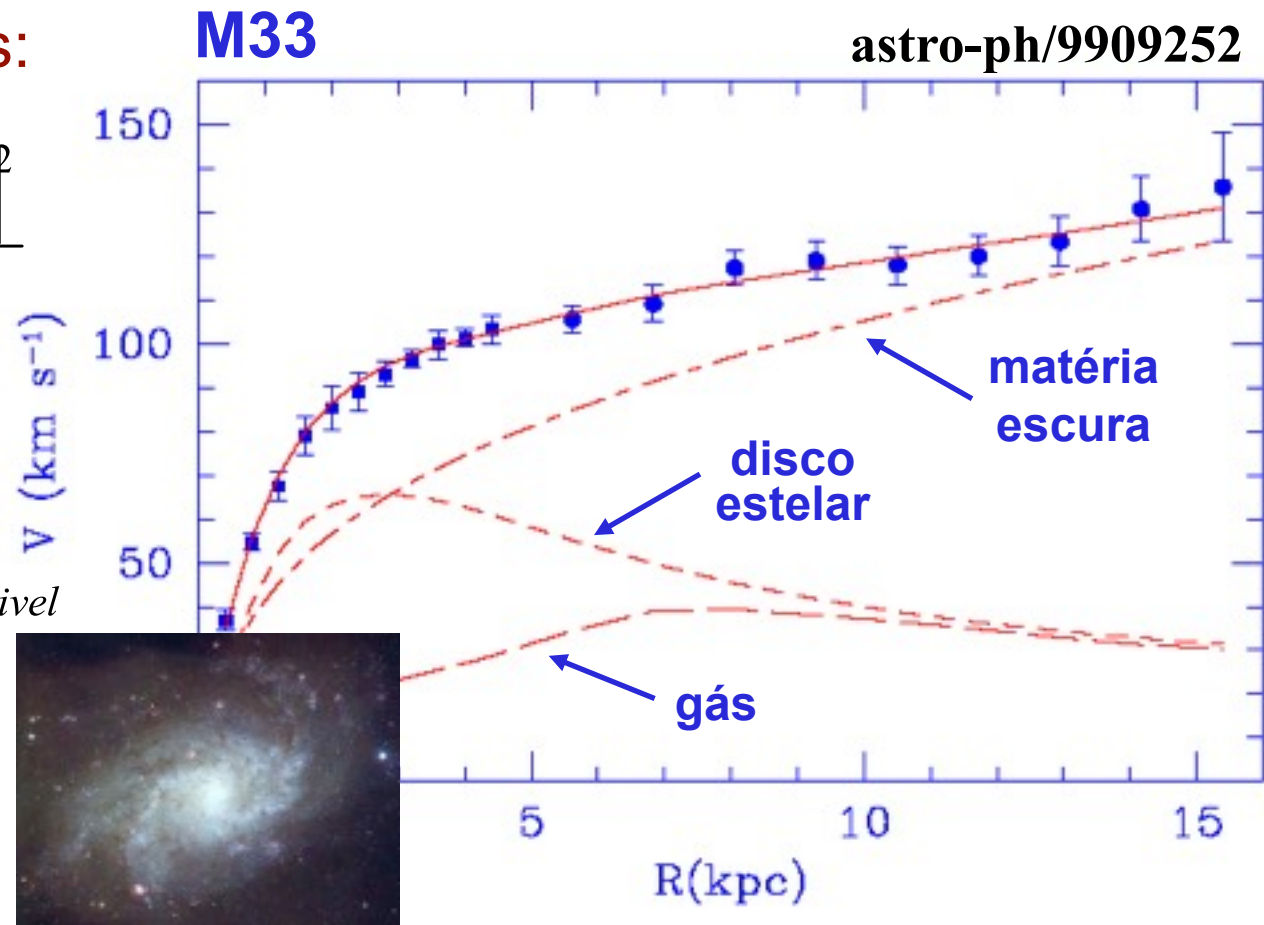
Estimativa simples:

$$G \frac{M(r)}{r^2} = \frac{[V(r)]^2}{r}$$



$$M_{Halo} \approx 3 - 10 M_{Visivel}$$

Matéria escura é
menos concentrada





Matéria Escura no Universo

Evidências:

- Curvas de rotação de galáxias
- Movimentos de galáxias e aglomerados (virial e grande escala)
- Fluxos de raios-X em aglomerados
- Lentes gravitacionais
- Efeito Sunyaev-Zel'dovich

Há $\sim 5x$ mais *matéria escura* que *matéria usual*!



Matéria Escura no Universo

Evidências:

- Curvas de rotação de galáxias
- Movimentos de galáxias e aglomerados (virial e grande escala)
- Fluxos de raios-X em aglomerados
- Lentes gravitacionais
- Efeito Sunyaev-Zel'dovich

Há $\sim 5x$ mais *matéria escura* que matéria usual!

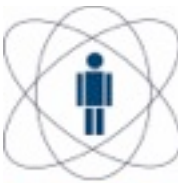
Não Bariônica: Não interage com a matéria bariônica

(não dissipia nem emite luz, sem reações nucleares)

■ estruturas, *bullet*, nucleossíntese...

Onde está a matéria “ordinária”?

- Matéria visível (estrelas): 10%
- A maior parte da matéria bariônica é “escura” (gás, planetas, BN)



Matéria Escura no Universo

Evidências:

- Curvas de rotação de galáxias
- Movimentos de galáxias
- Fluxos
- A matéria escura é a componente que se aglomera - dominante da densidade de massa do Universo

Há
Nã

- O universo é mais homogêneo do que parece olhando apenas as galáxias
- Onde está a maior parte da matéria bariônica?
 - Matéria bariônica (estrelas): 10%
 - A maior parte da matéria bariônica é “escura” (gás, planetas, BN)



A Estrutura em Grande Escala

Fazendo um “Mapa” do Universo

Galáxias no HUDF



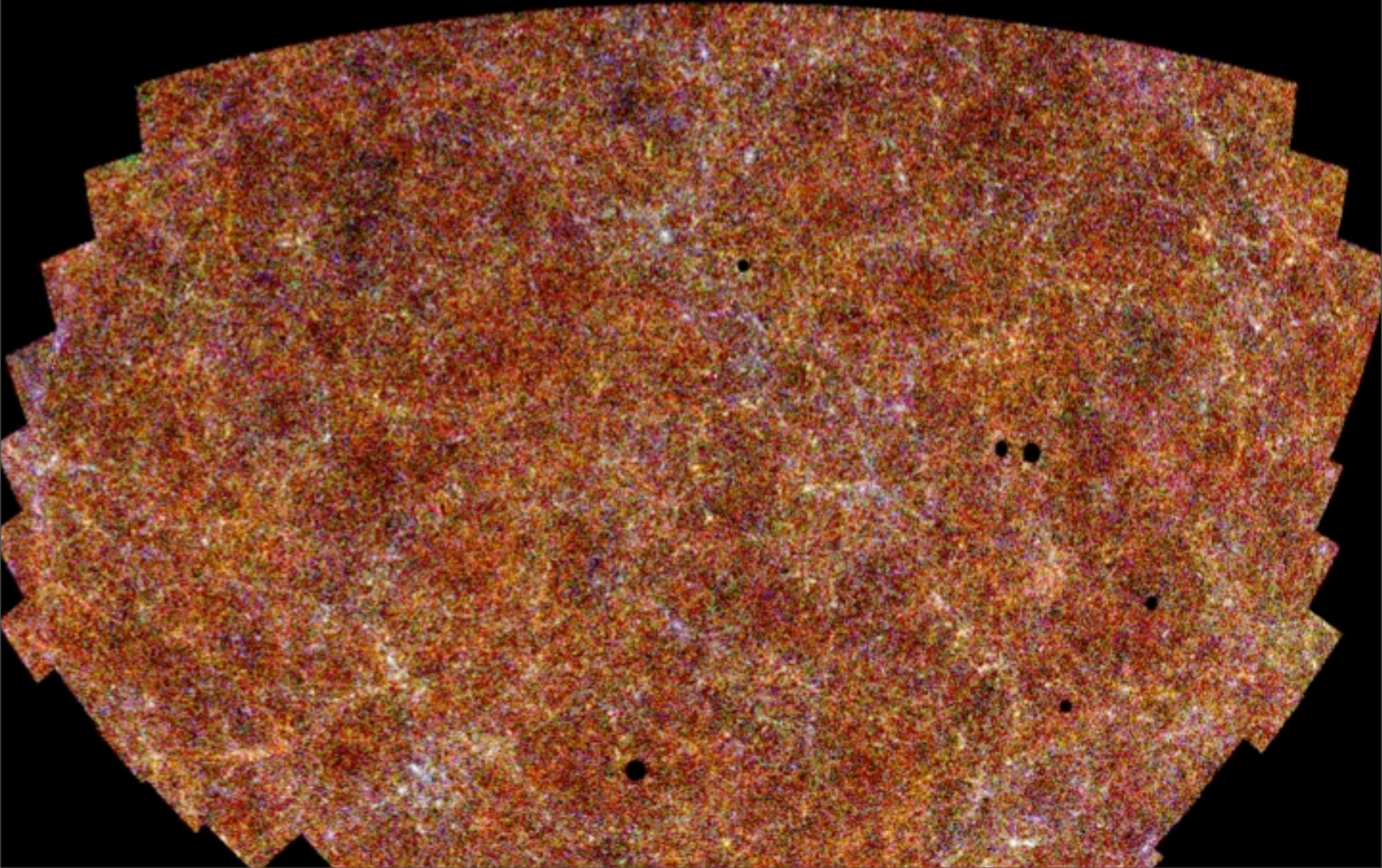
Galáxias no HUDF

área ~ 11 arcmin 2

Magnitude limite ~ 27

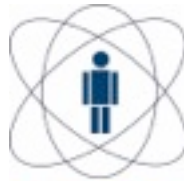
~ 10.000 galáxias

Estrutura em Grande Escala



Estrutura em Grande Escala

Mapa da densidade de número de galáxias
The APM Galaxy Survey
 $\sim 3 \times 10^6$ galáxias
Área ~ 7000 deg $\sim 4\pi/4$ sterad
Magnitude : $17 < b_j < 20.5$



Mapa 3D do Universo

Lei de Hubble (de Sitter) $v \approx H_0 d$

Efeito Doppler $v = cz = c \Delta\lambda/\lambda$



Mapa 3D do Universo

Lei de Hubble (de Sitter) $v \approx H_0 d$

Efeito Doppler $v = cz = c \Delta\lambda/\lambda$

$$d \approx H_0^{-1} cz$$

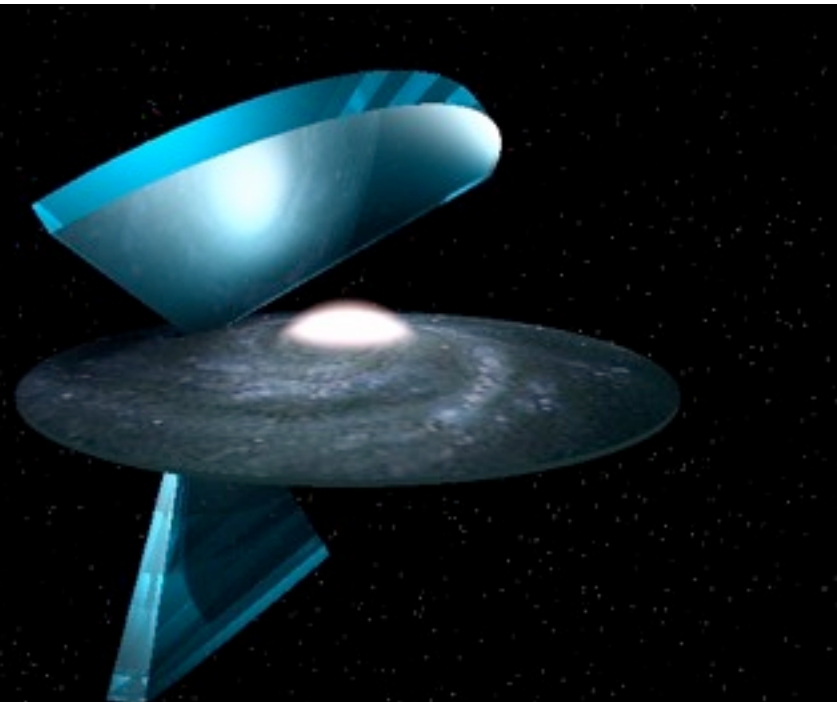


Mapa 3D do Universo

Lei de Hubble (de Sitter) $v \approx H_0 d$

Efeito Doppler $v = cz = c \Delta\lambda/\lambda$

$$d \approx H_0^{-1} cz$$



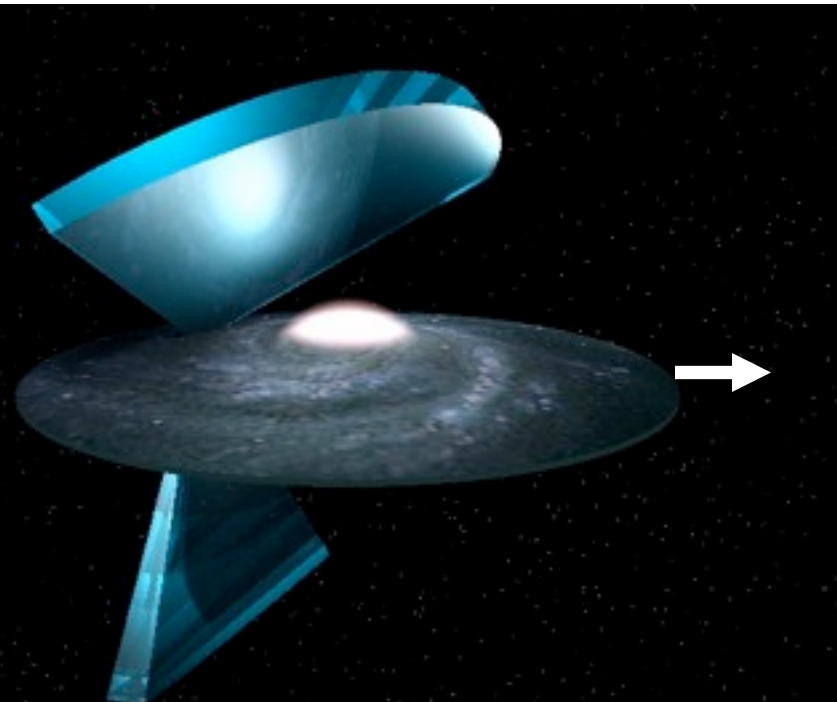


Mapa 3D do Universo

Lei de Hubble (de Sitter) $v \approx H_0 d$

Efeito Doppler $v = cz = c \Delta\lambda/\lambda$

$$d \approx H_0^{-1} cz$$



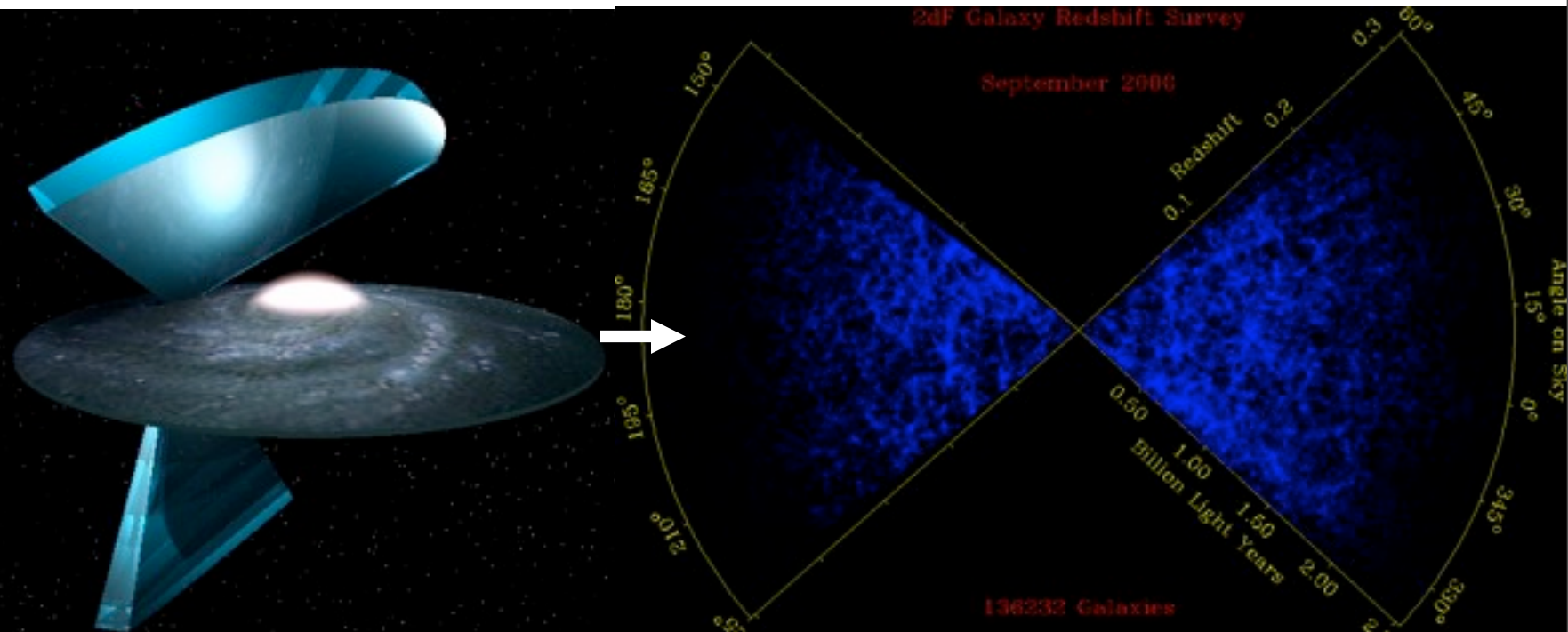


Mapa 3D do Universo

Lei de Hubble (de Sitter) $v \approx H_0 d$

Efeito Doppler $v = cz = c \Delta\lambda/\lambda$

$$d \approx H_0^{-1} cz$$





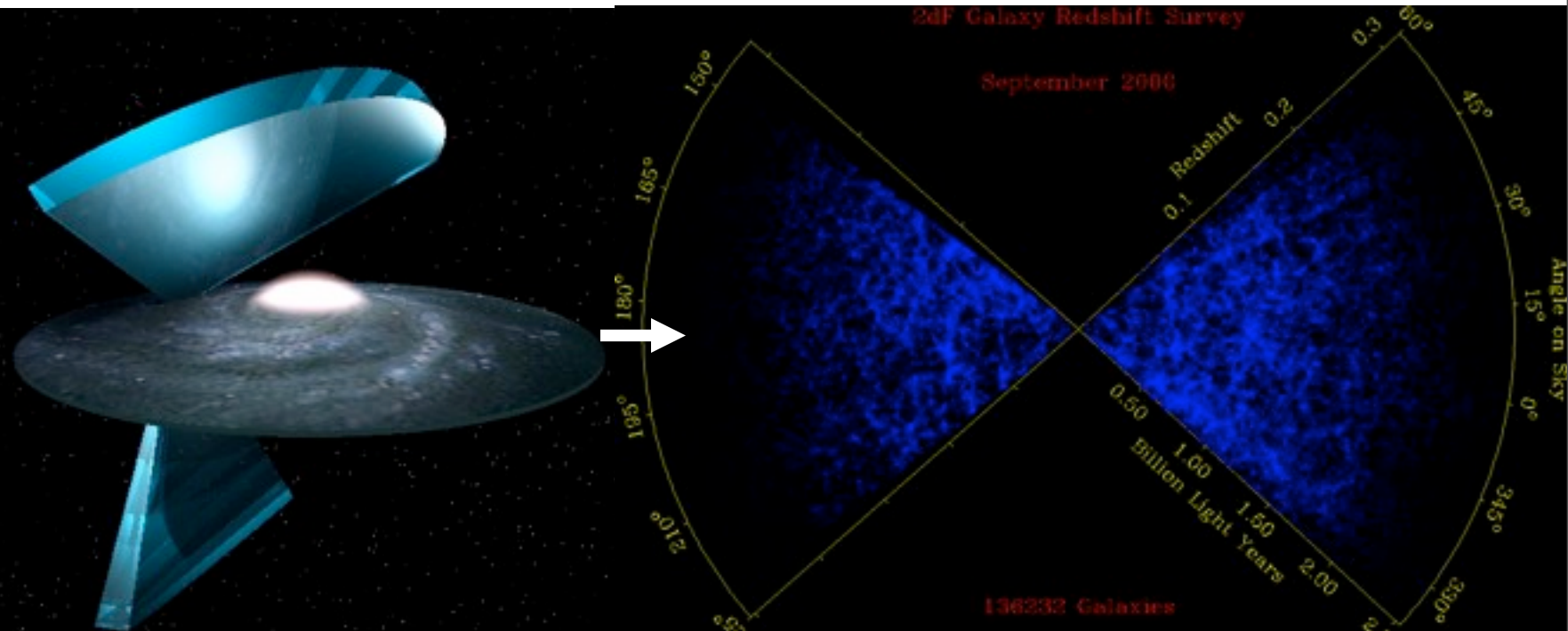
Mapa 3D do Universo

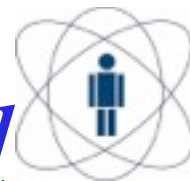
Lei de Hubble (de Sitter) $v \approx H_0 d$

Efeito Doppler $v = cz = c \Delta\lambda/\lambda$

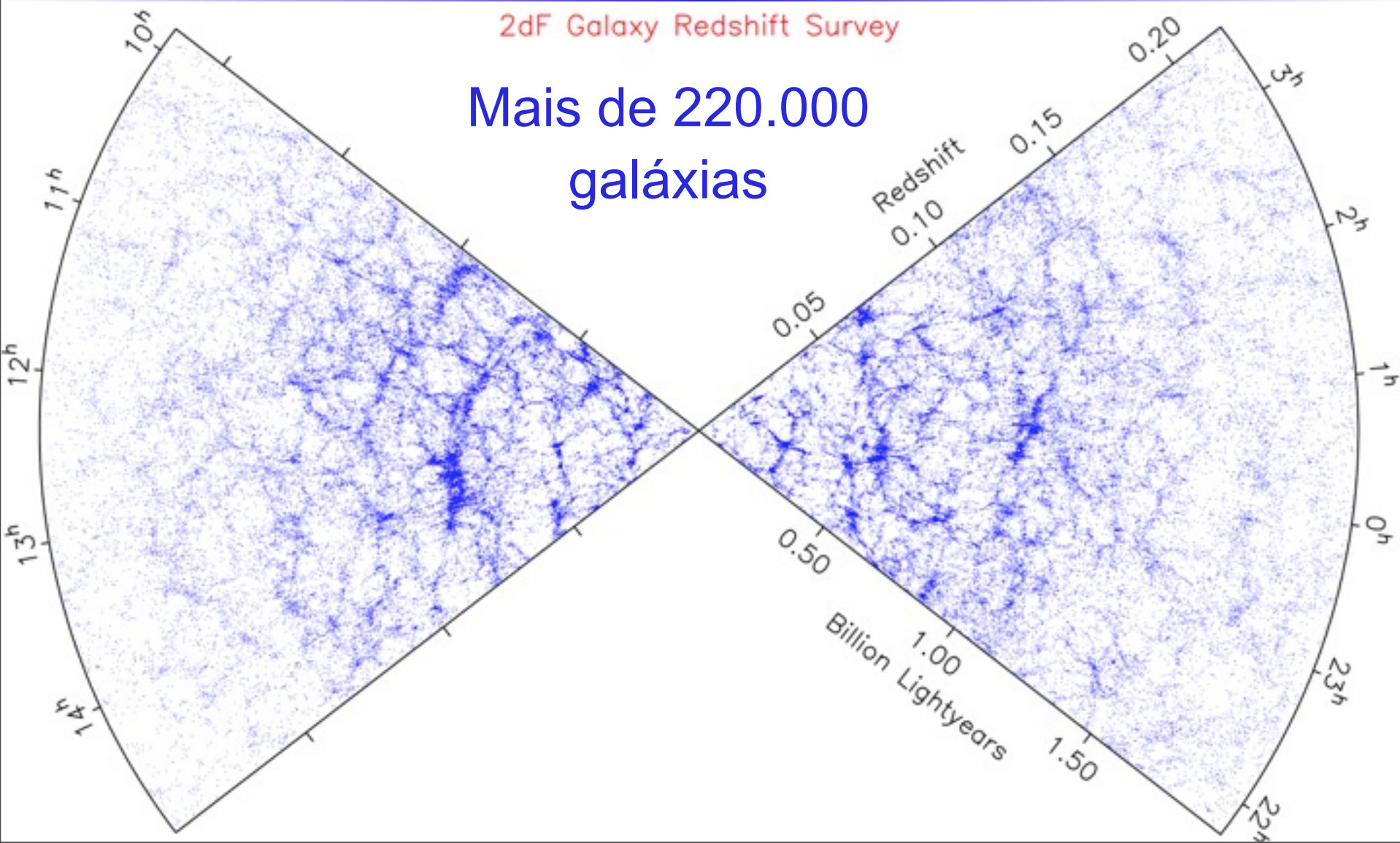
$$d \approx H_0^{-1} cz$$

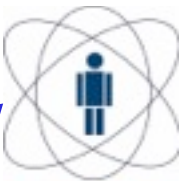
na realidade $v = v_{\text{exp}} + v_{\text{pec}}$



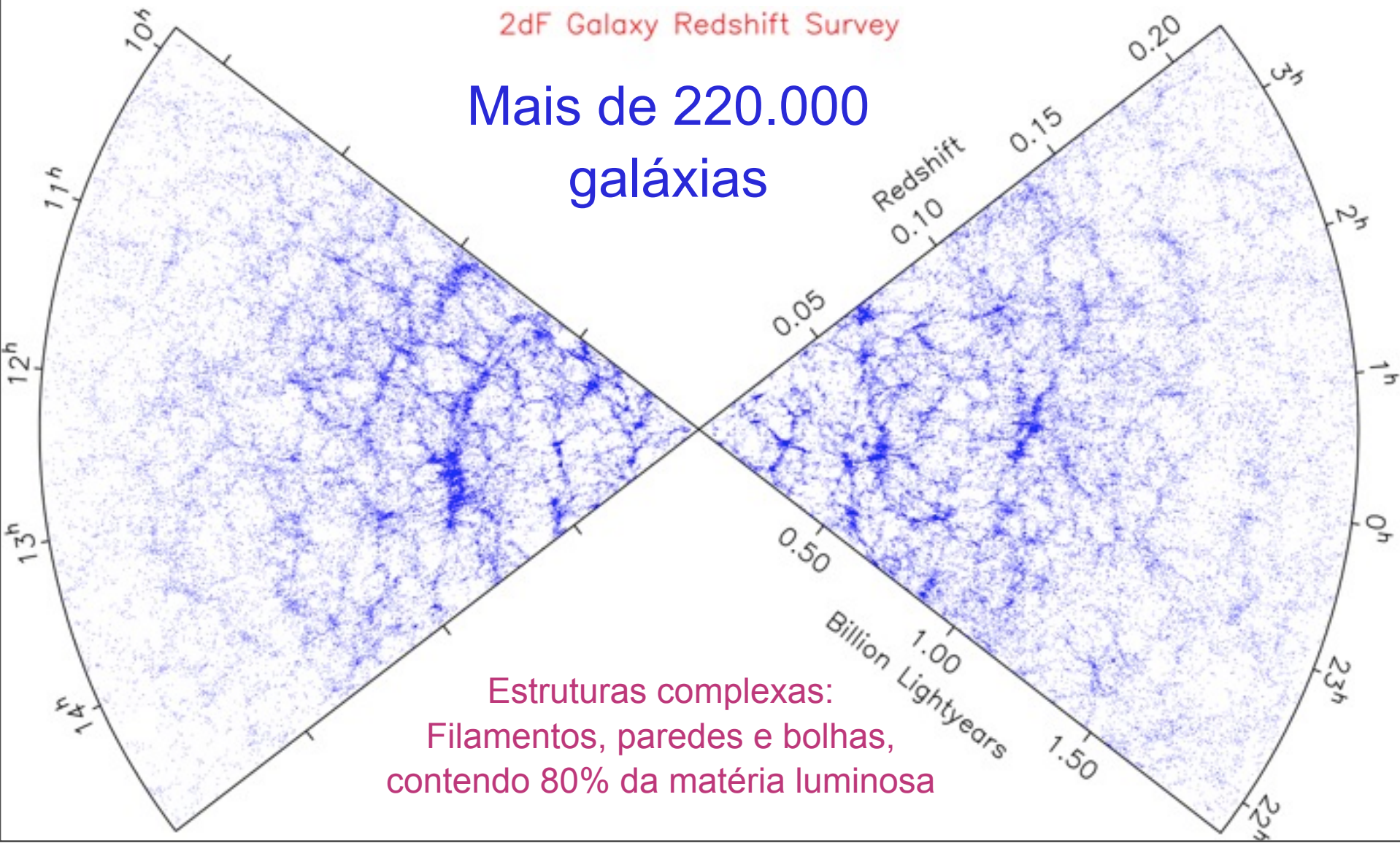


Mapa do *Two Degree Field*





Mapa do *Two Degree Field*



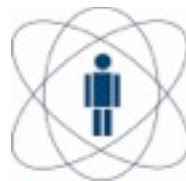


Fazendo um Mapa do Universo



**Sloan Digital
Sky Survey**





Fazendo um Mapa do Universo



**Sloan Digital
Sky Survey**



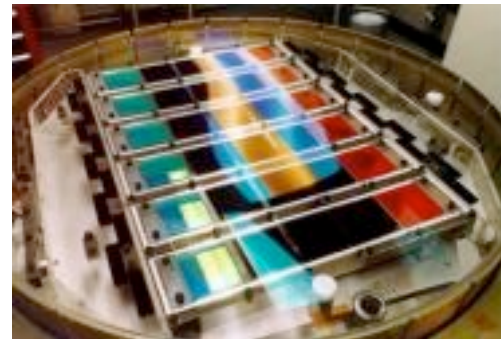
**Fibras ópticas e CCDs:
prêmios Nobel de 2009**



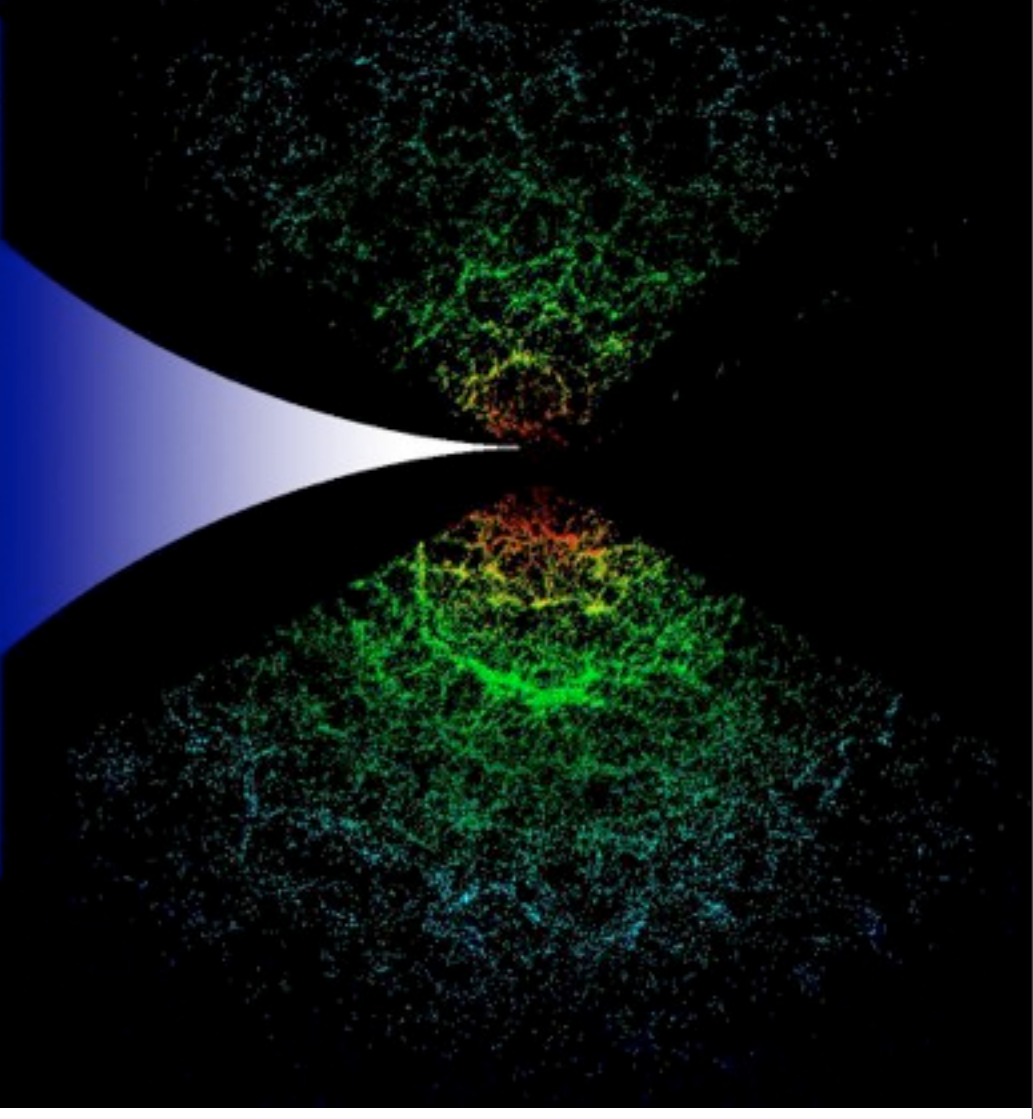
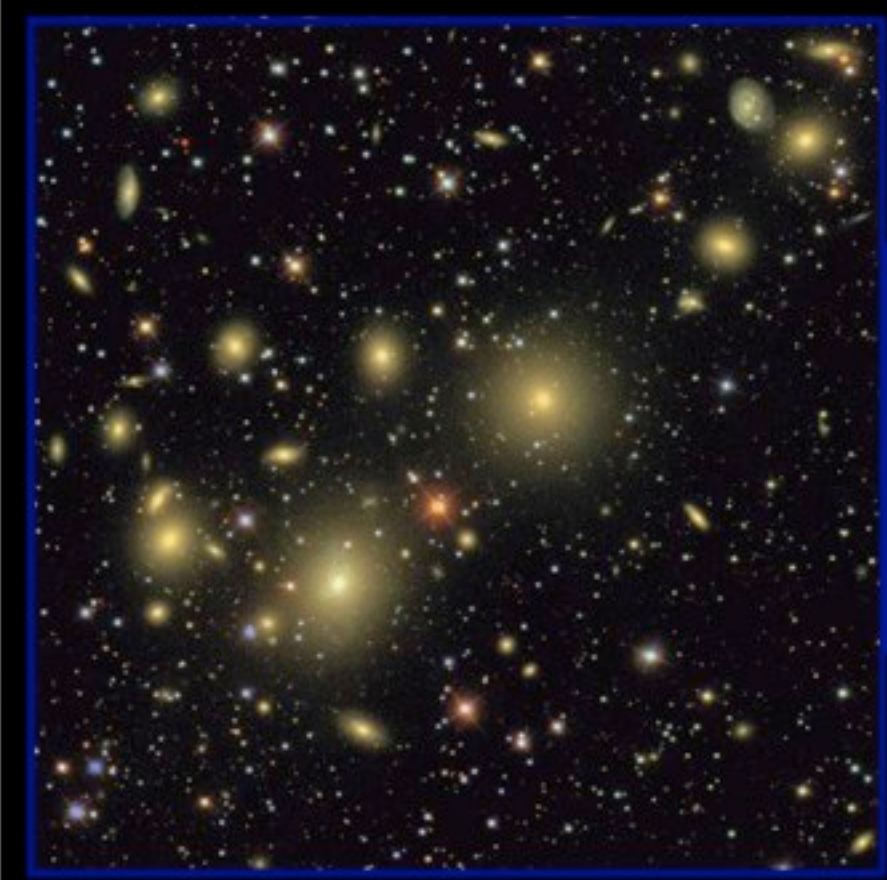
Fazendo um Mapa do Universo



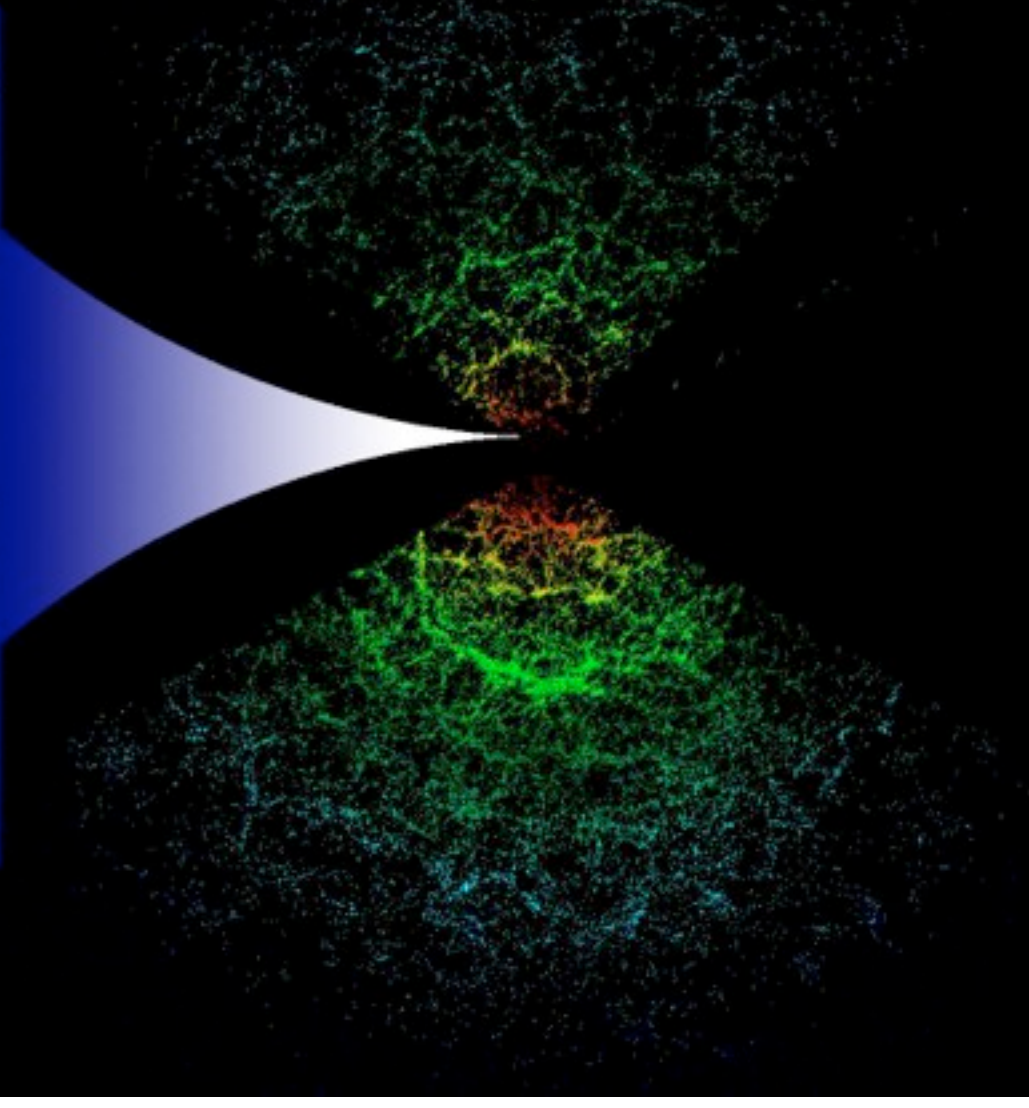
**Sloan Digital
Sky Survey**



**Fibras ópticas e CCDs:
prêmios Nobel de 2009**

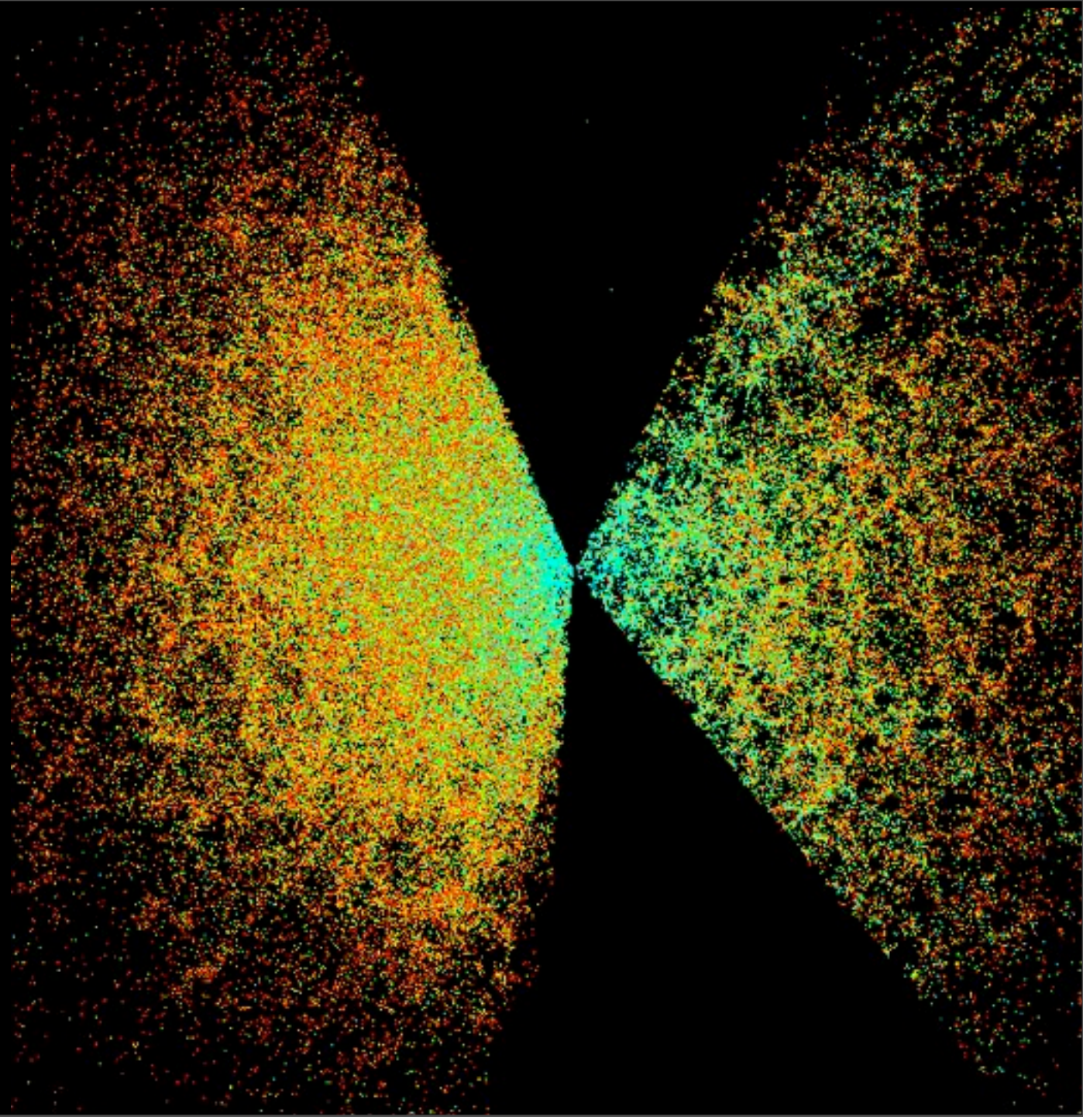


Imagens das galáxias (2D) → Posição incluindo a “distância” (3D)



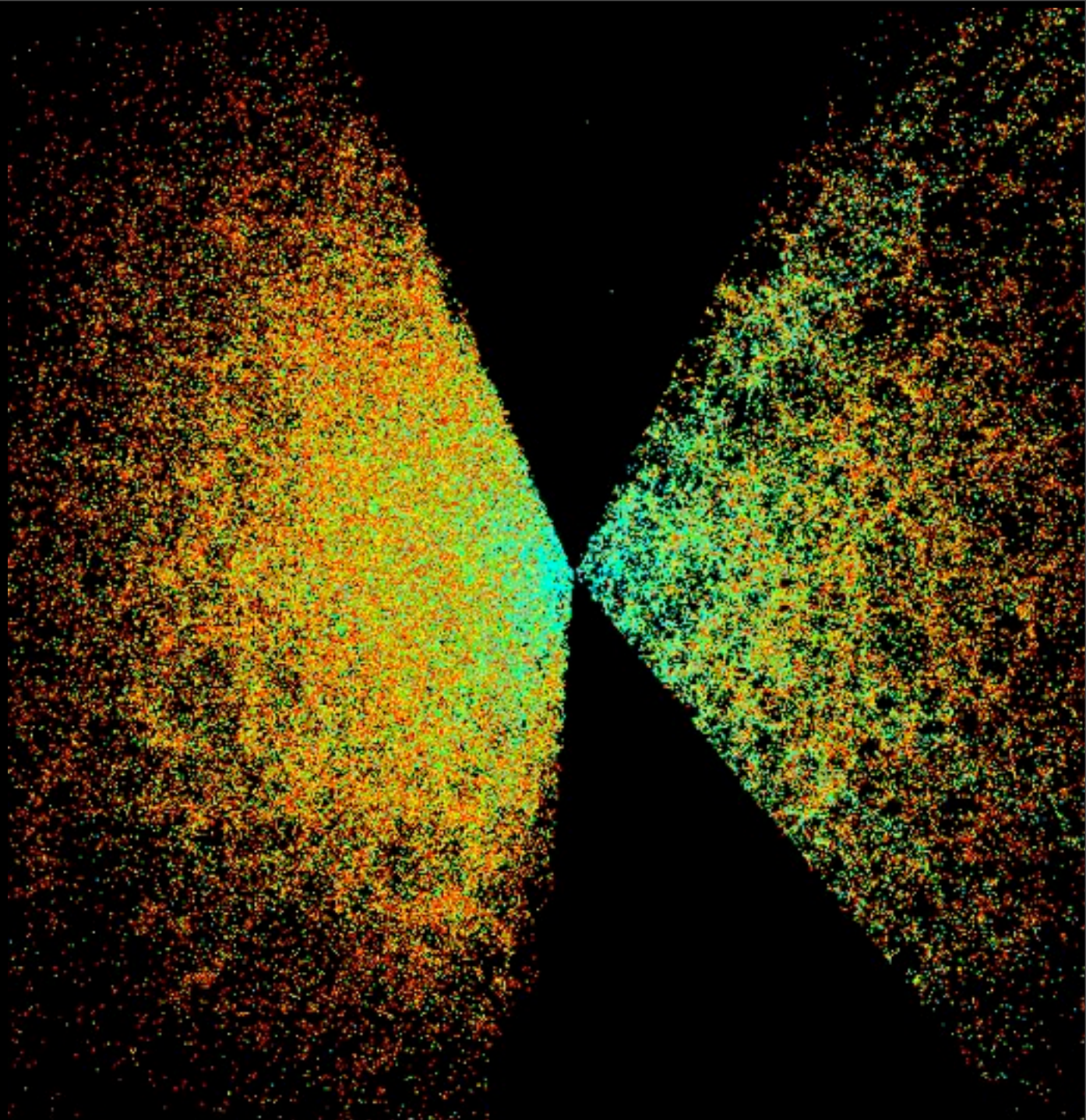
Imagens das galáxias (2D) → Posição incluindo a “distância” (3D)
Fotometria (hoje “2.5D”) → Espectroscopia

Mapa 3D da Estrutura em Grande Escala



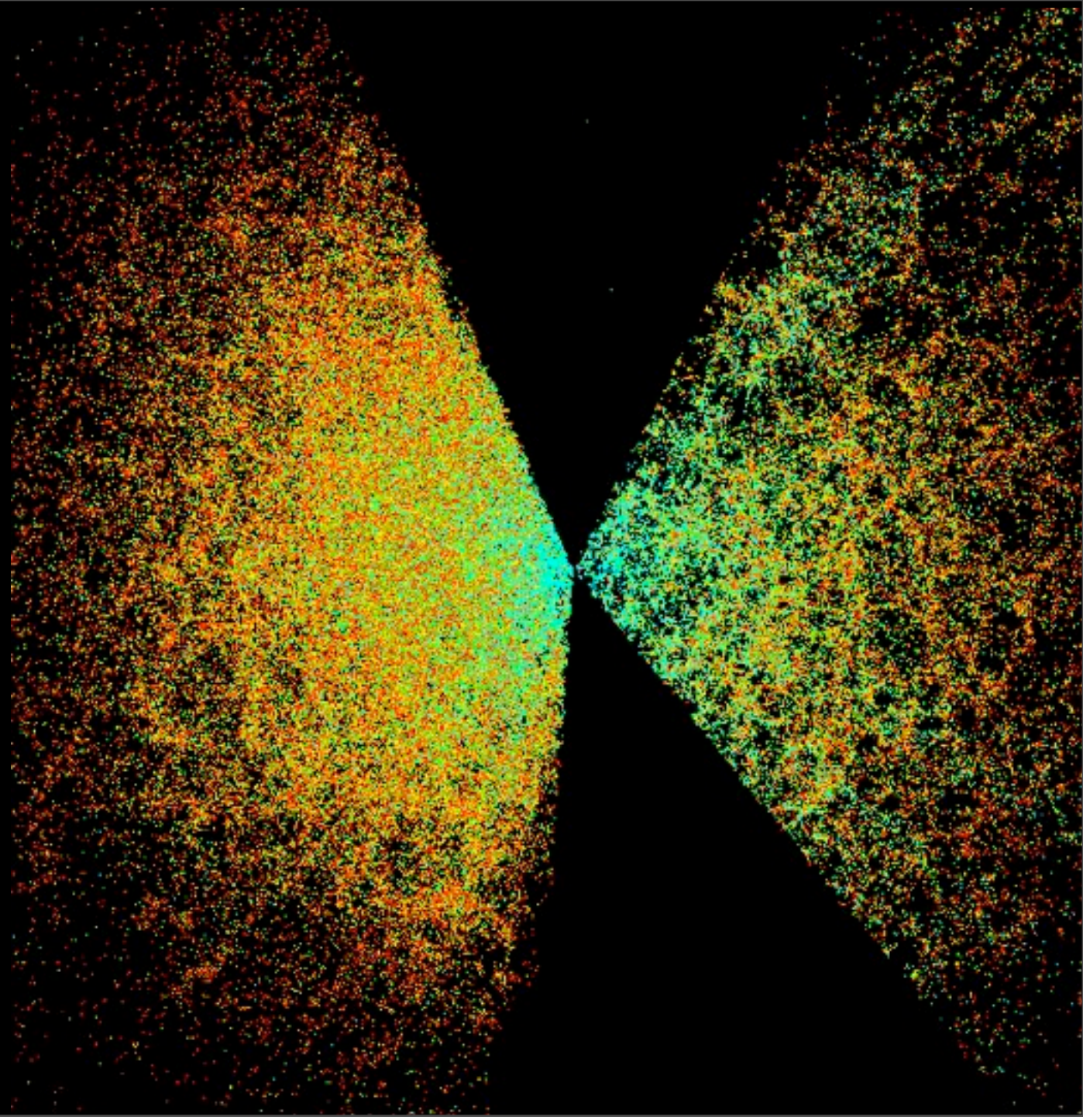
Tuesday, August 27, 13

● Cor



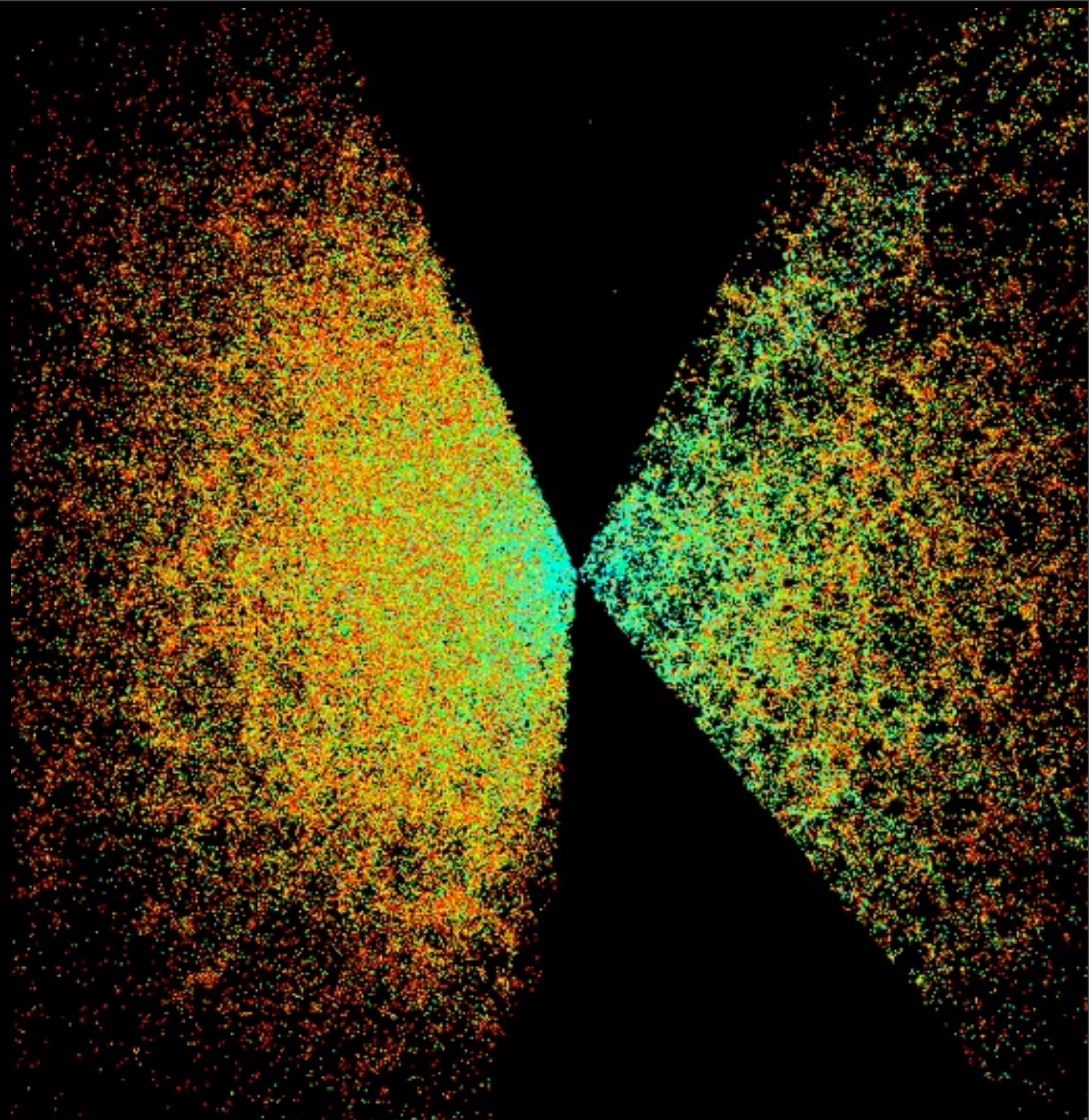
● Cor

intínseca (g-r)



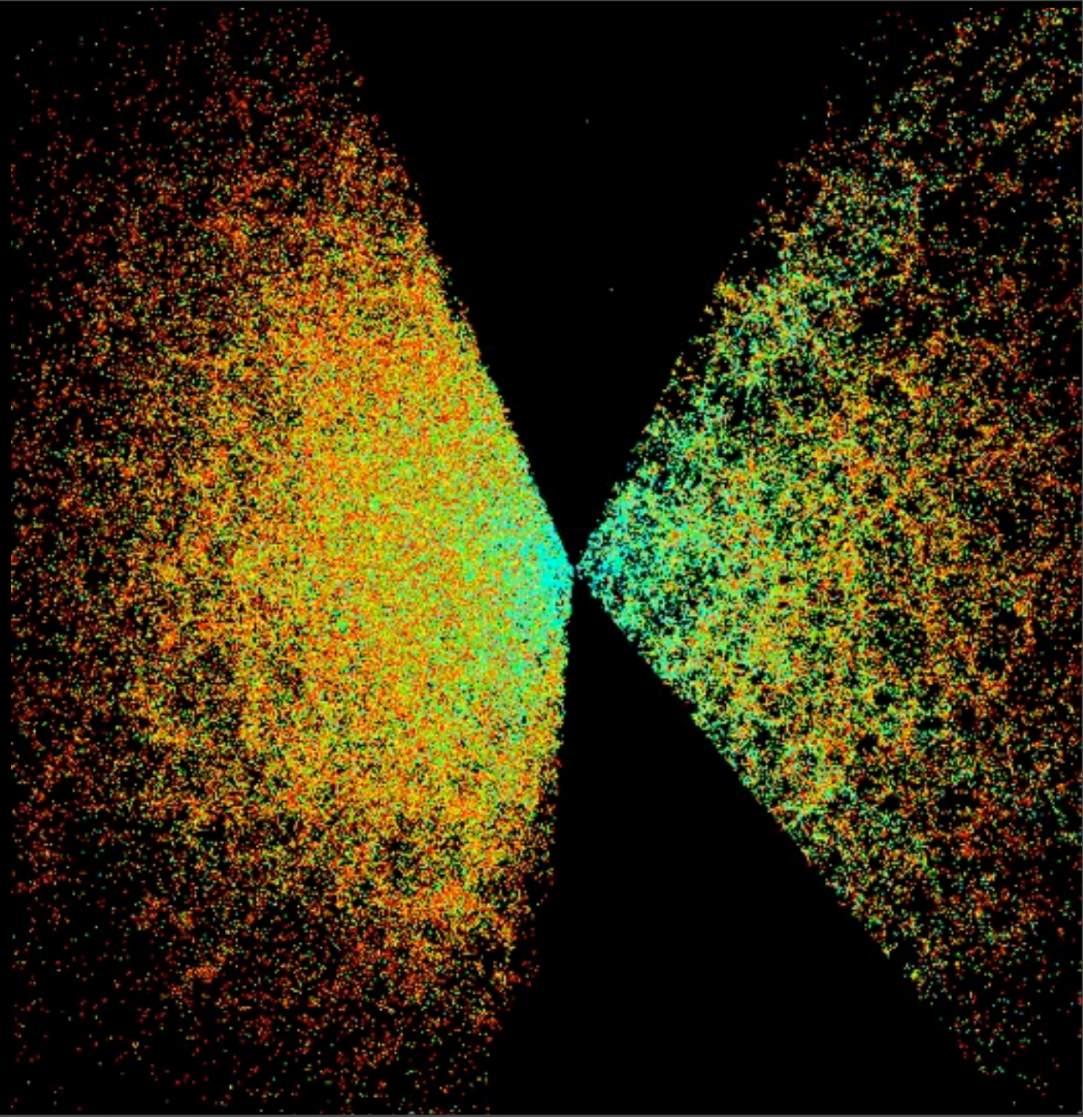
● Cor

intínseca (g-r)

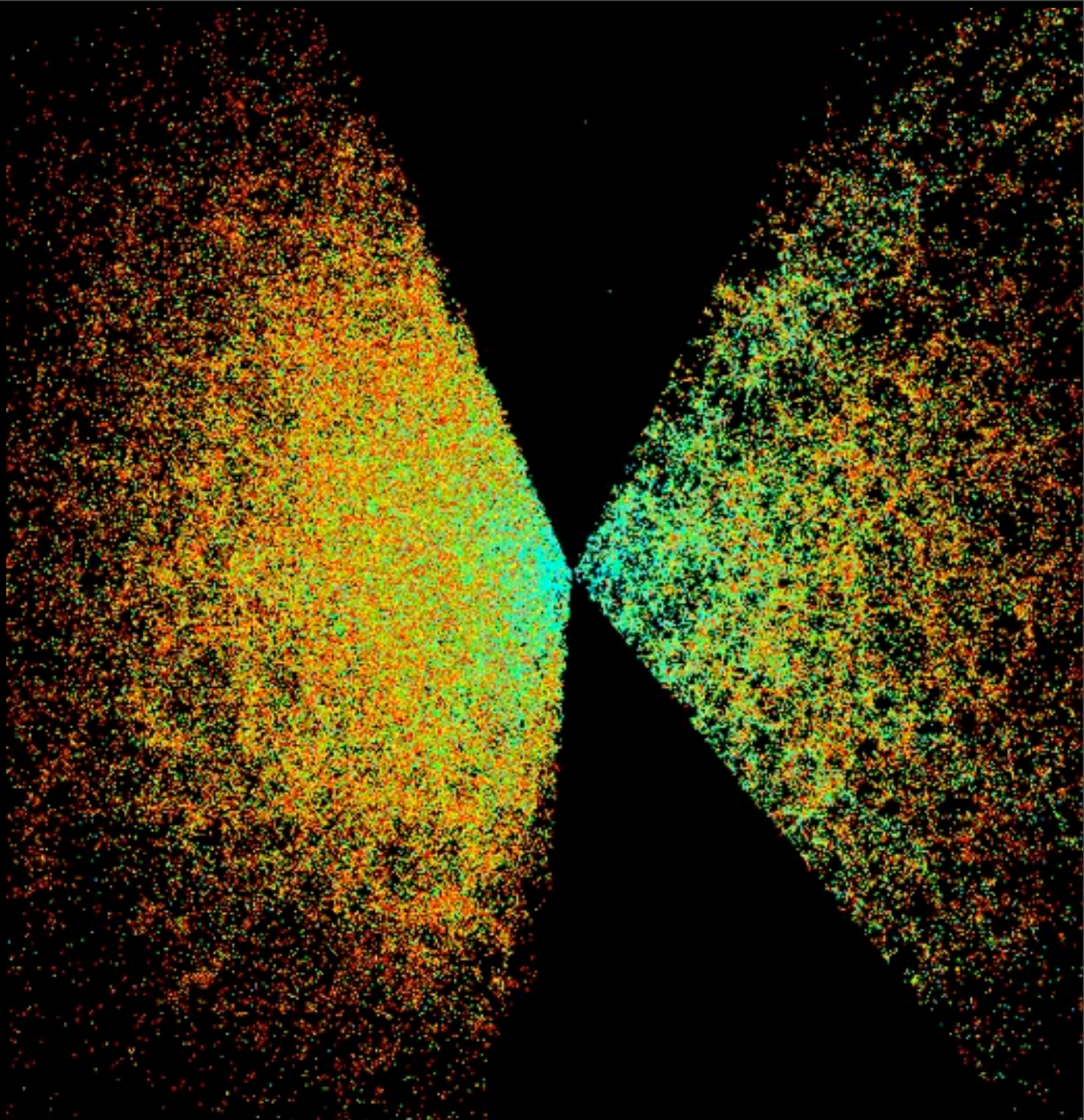


● Cor

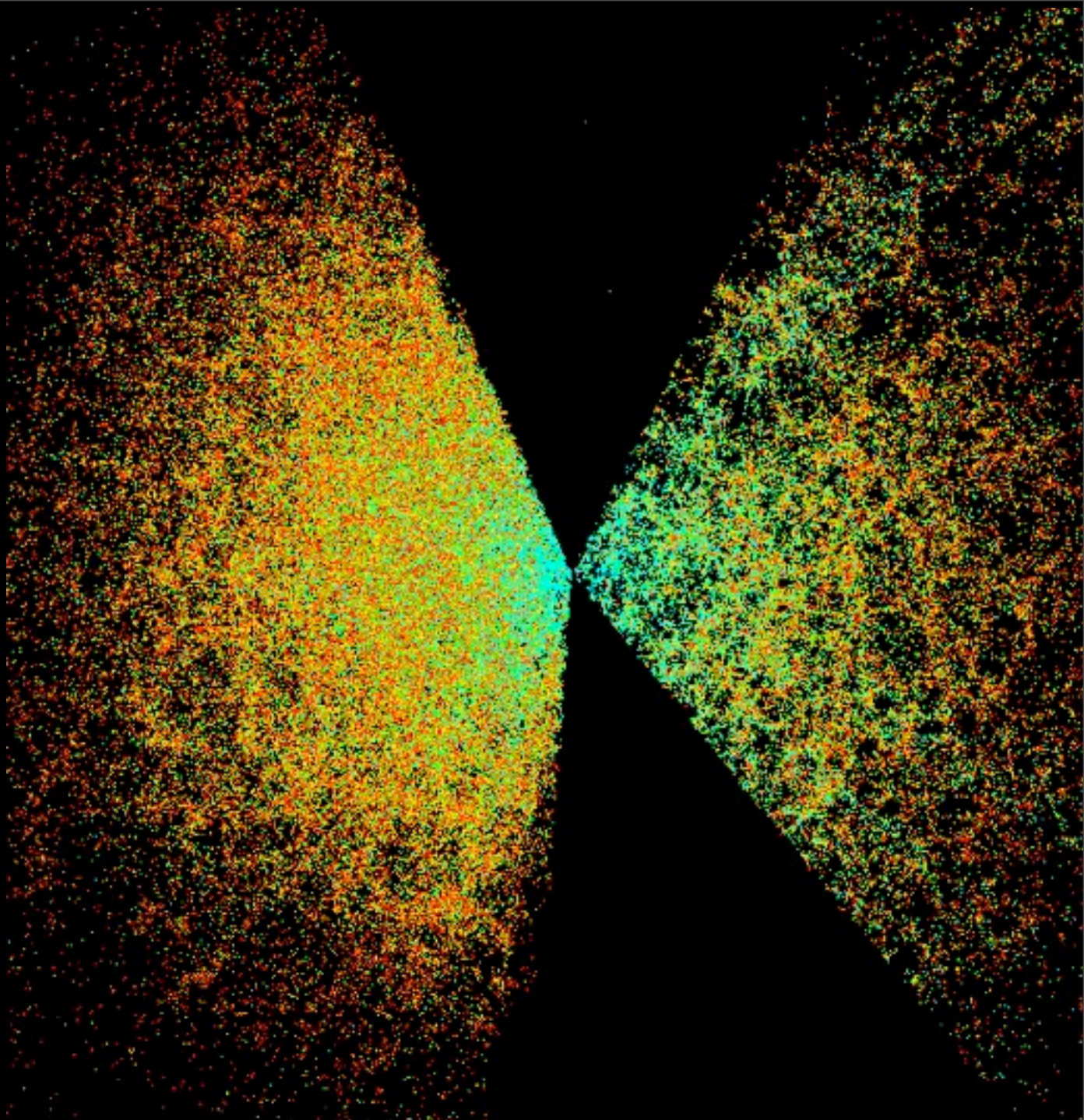
intínseca (g-r)



- Cor intínseca (g-r)
- Relação



- Cor intínseca (g-r)
- Relação cor-luminosidade



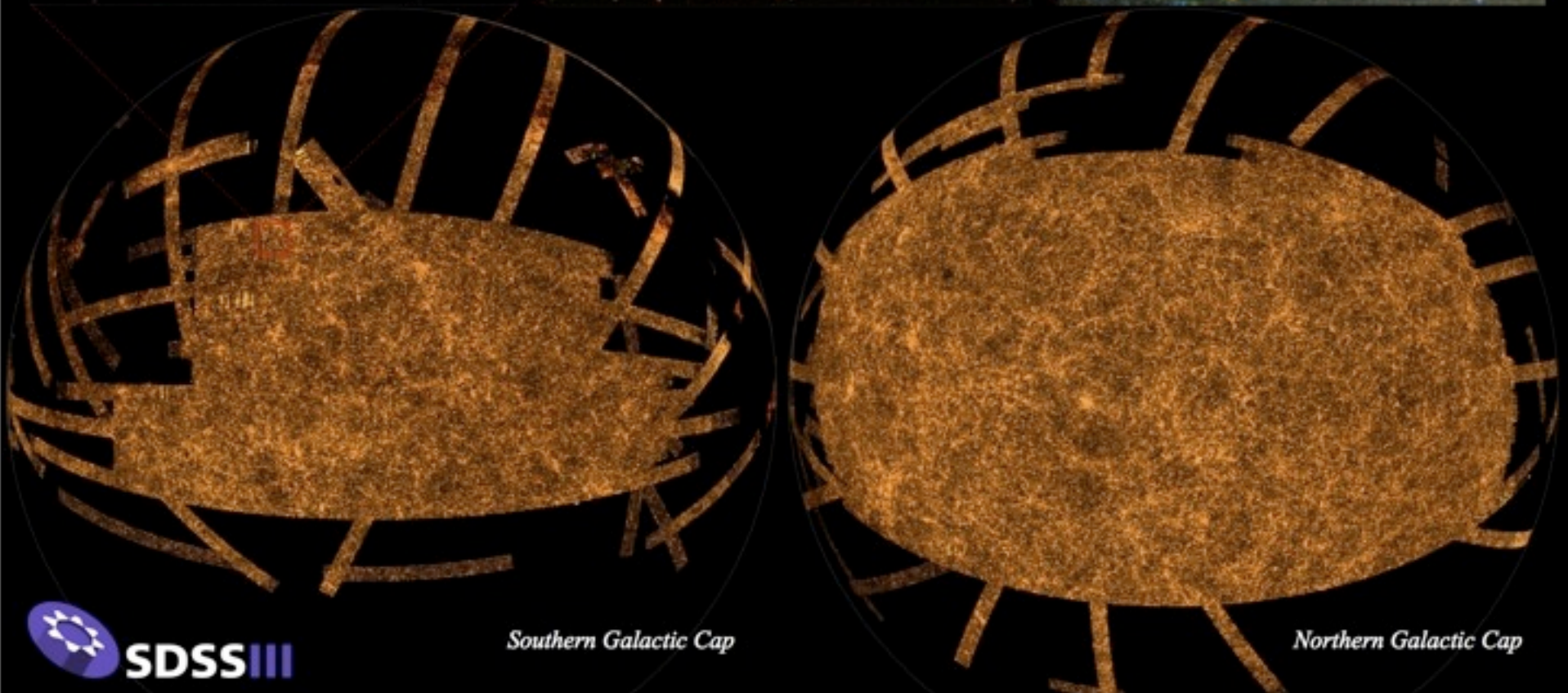
Messier 33

NGC 604

Estado da Arte Hoje: Sloan Digital Sky Survey



SDSS III



Sloan Digital Sky Survey



Sloan Digital Sky Survey



Data Release 10: 2013:

Sloan Digital Sky Survey



Data Release 10: 2013:

- Cobertura angular: 14.555 deg^2 ($\sim 35\%$ do céu)
- Fotometria (imagens) de 469 milhões de galáxias, quasares, estrelas e outros objetos
- Espectros (desvio para o vermelho) de 1.880.584 galáxias e 312.309 quasares
- $> 50 \text{ TB}$ de dados

Sloan Digital Sky Survey



Data Release 10: 2013:



©1997 United Feature Syndicate, Inc.



www.hedgeweb.com

Sloan Digital Sky Survey



Data Release 10: 2013:



- Futuro: *Dark Energy Survey, LSST,*

Sloan Digital Sky Survey

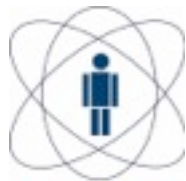


Data Release 10: 2013:

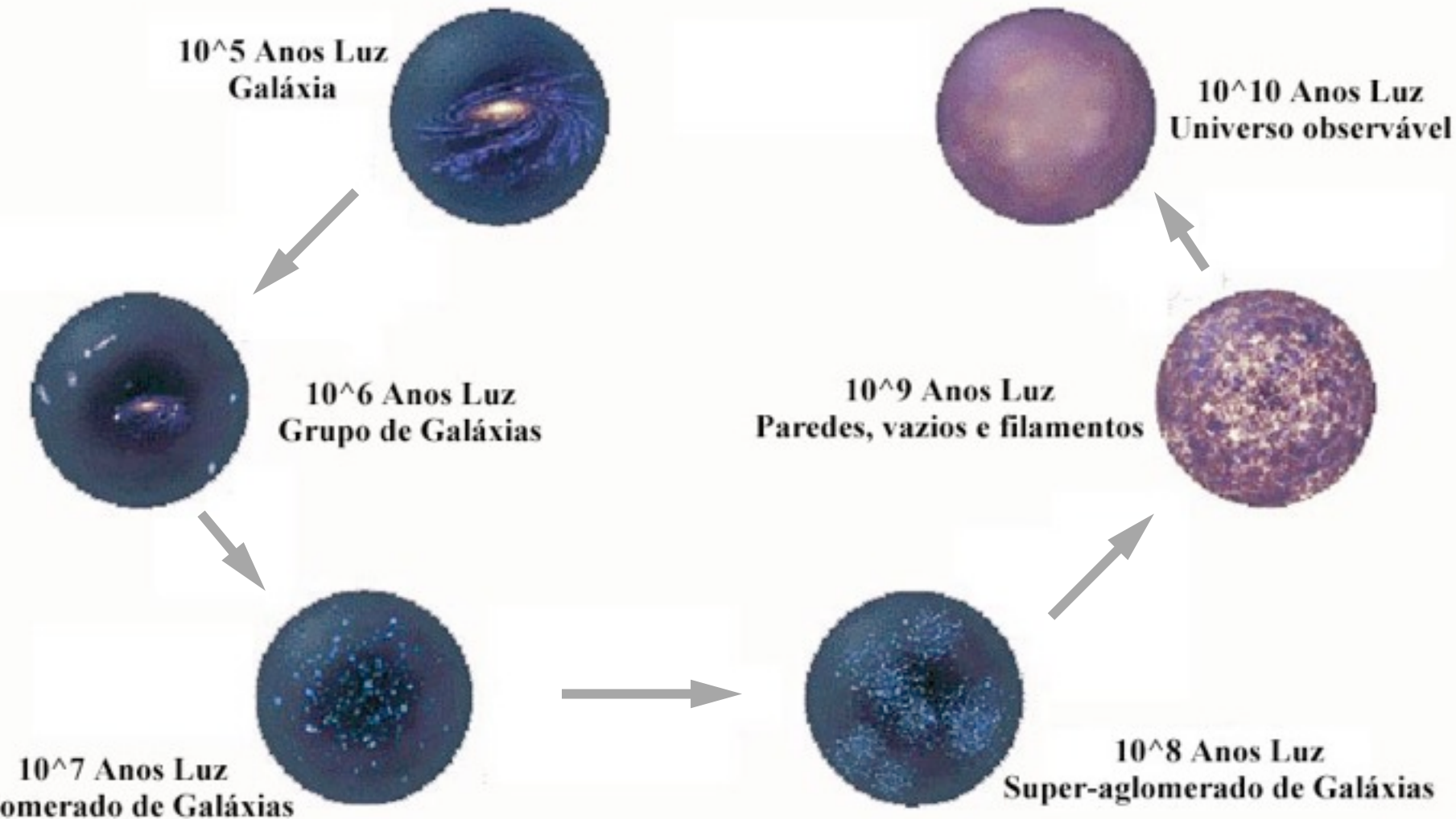


- Futuro: *Dark Energy Survey, LSST, eBOSS, MS-DESI, etc.*





As Escalas no Universo





As Escalas no Universo

10^5 Anos Luz
Galáxia



10^{10} Anos Luz

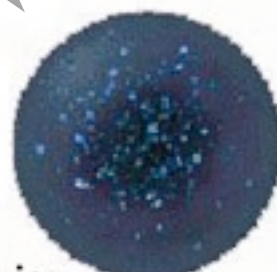


Existem cerca de 60 bilhões de galáxias no Universo observável!

60.000.000.000

10^7 Anos Luz

Aglomerado de Galáxias



10^8 Anos Luz

Super-aglomerado de Galáxias





Parte II

O Universo Homogêneo I



Parte II

O Universo Homogêneo I

Cosmologia Newtoniana I: A equação de Friedmann

- Distribuição esfericamente simétrica e uniforme:

$$R(t) = a(t)r$$

- “Conservação da energia”

$$\frac{1}{2}m\left(\frac{dR}{dt}\right)^2 - \frac{GMm}{R} = E$$

- Sabendo $\rho(a)$, podemos obter $a(t)$

- Exemplo I: Matéria (partículas): $\rho \propto a^{-3}$

- $K = 0$
 - $K \neq 0$

Cosmologia Newtoniana I: A equação de Friedmann

- Distribuição esfericamente simétrica e uniforme:

$$R(t) = a(t)r$$

- “Conservação da energia”

$$\frac{1}{2}m\left(\frac{dR}{dt}\right)^2 - \frac{GMm}{R} = E \quad \longrightarrow \quad \boxed{\dot{a}^2 = \frac{8\pi G}{3}a^2\rho - K}$$

- Sabendo $\rho(a)$, podemos obter $a(t)$

- Exemplo I: Matéria (partículas): $\rho \propto a^{-3}$

- $K = 0$
 - $K \neq 0$

Cosmologia Newtoniana I: A equação de Friedmann

- Distribuição esfericamente simétrica e uniforme:

$$R(t) = a(t)r$$

- “Conservação da energia”

Equação de Friedmann



$$\frac{1}{2}m\left(\frac{dR}{dt}\right)^2 - \frac{GMm}{R} = E \quad \Rightarrow$$

$$\dot{a}^2 = \frac{8\pi G}{3}a^2\rho - K$$

- Sabendo $\rho(a)$, podemos obter $a(t)$

- Exemplo I: Matéria (partículas): $\rho \propto a^{-3}$

- $K = 0$
 - $K \neq 0$

Cosmologia Newtoniana I: A equação de Friedmann

- Distribuição esfericamente simétrica e uniforme:

$$R(t) = a(t)r$$

- “Conservação da energia”

Equação de Friedmann



$$\frac{1}{2}m\left(\frac{dR}{dt}\right)^2 - \frac{GMm}{R} = E \quad \Rightarrow$$

$$\dot{a}^2 = \frac{8\pi G}{3}a^2\rho - K$$

- Sabendo $\rho(a)$, podemos obter $a(t)$

- Exemplo I: Matéria (partículas): $\rho \propto a^{-3}$

- $K = 0$
 - $K \neq 0$

Cosmologia Newtoniana I: A equação de Friedmann

- Distribuição esfericamente simétrica e uniforme:

$$R(t) = a(t)r$$

- “Conservação da energia”

Equação de Friedmann



$$\frac{1}{2}m\left(\frac{dR}{dt}\right)^2 - \frac{GMm}{R} = E \quad \longrightarrow$$

$$\dot{a}^2 = \frac{8\pi G}{3}a^2\rho - K$$

- Sabendo $\rho(a)$, podemos obter $a(t)$

- Exemplo I: Matéria (partículas): $\rho \propto a^{-3}$

– $K = 0$ 

– $K \neq 0$

Cosmologia Newtoniana I: A equação de Friedmann

- Distribuição esfericamente simétrica e uniforme:

$$R(t) = a(t)r$$

- “Conservação da energia”

Equação de Friedmann



$$\frac{1}{2}m\left(\frac{dR}{dt}\right)^2 - \frac{GMm}{R} = E \quad \longrightarrow$$

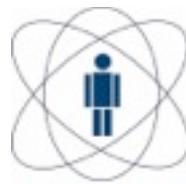
$$\dot{a}^2 = \frac{8\pi G}{3}a^2\rho - K$$

- Sabendo $\rho(a)$, podemos obter $a(t)$

- Exemplo I: Matéria (partículas): $\rho \propto a^{-3}$

- $- K = 0 \longrightarrow a \propto t^{2/3}$ Einstein - de Sitter

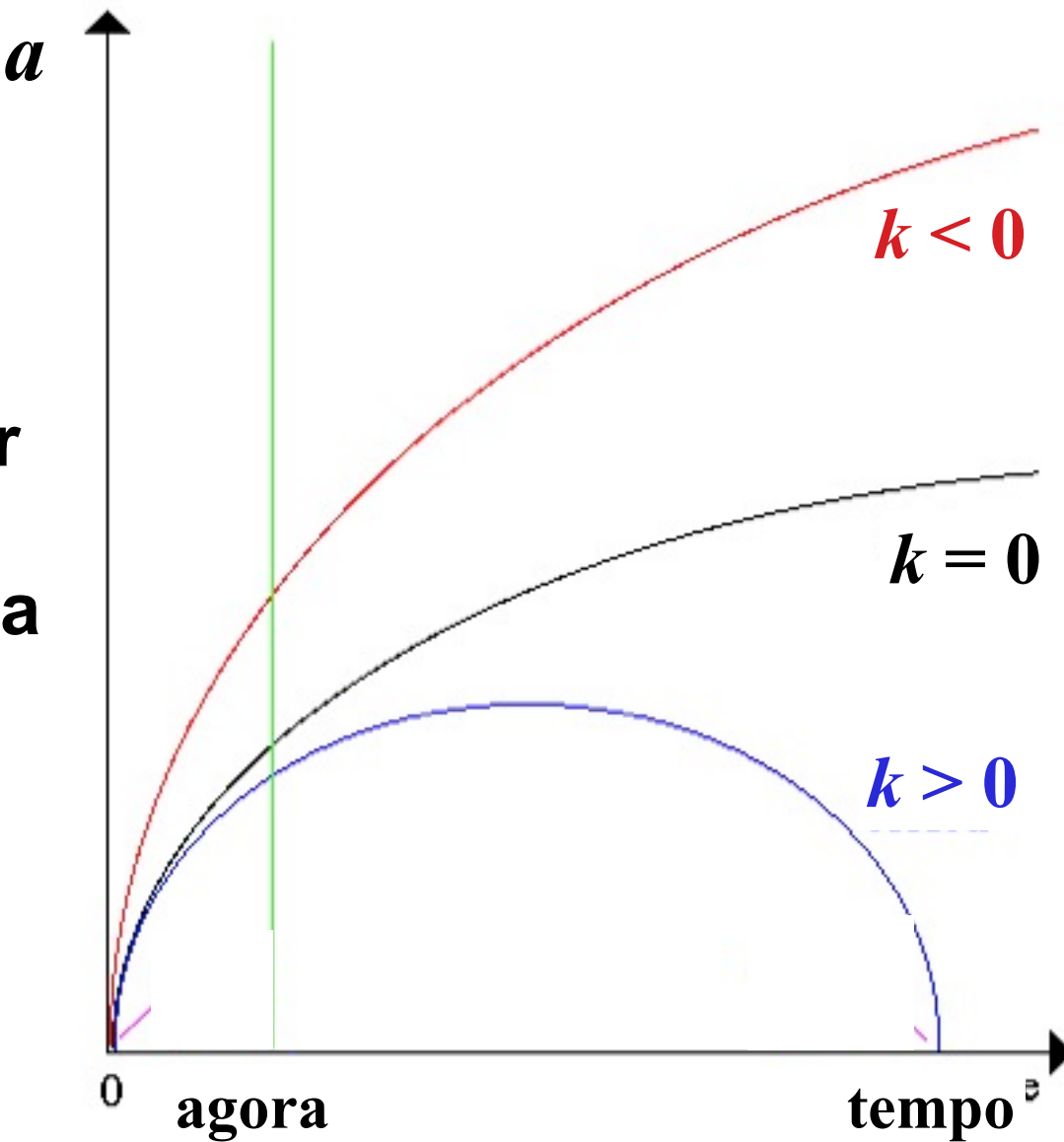
- $- K \neq 0$

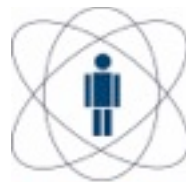


Evolução do Universo ($\Lambda = 0$)

matéria:
 $\rho \propto a^{-3}$

**Fator
de
escala**

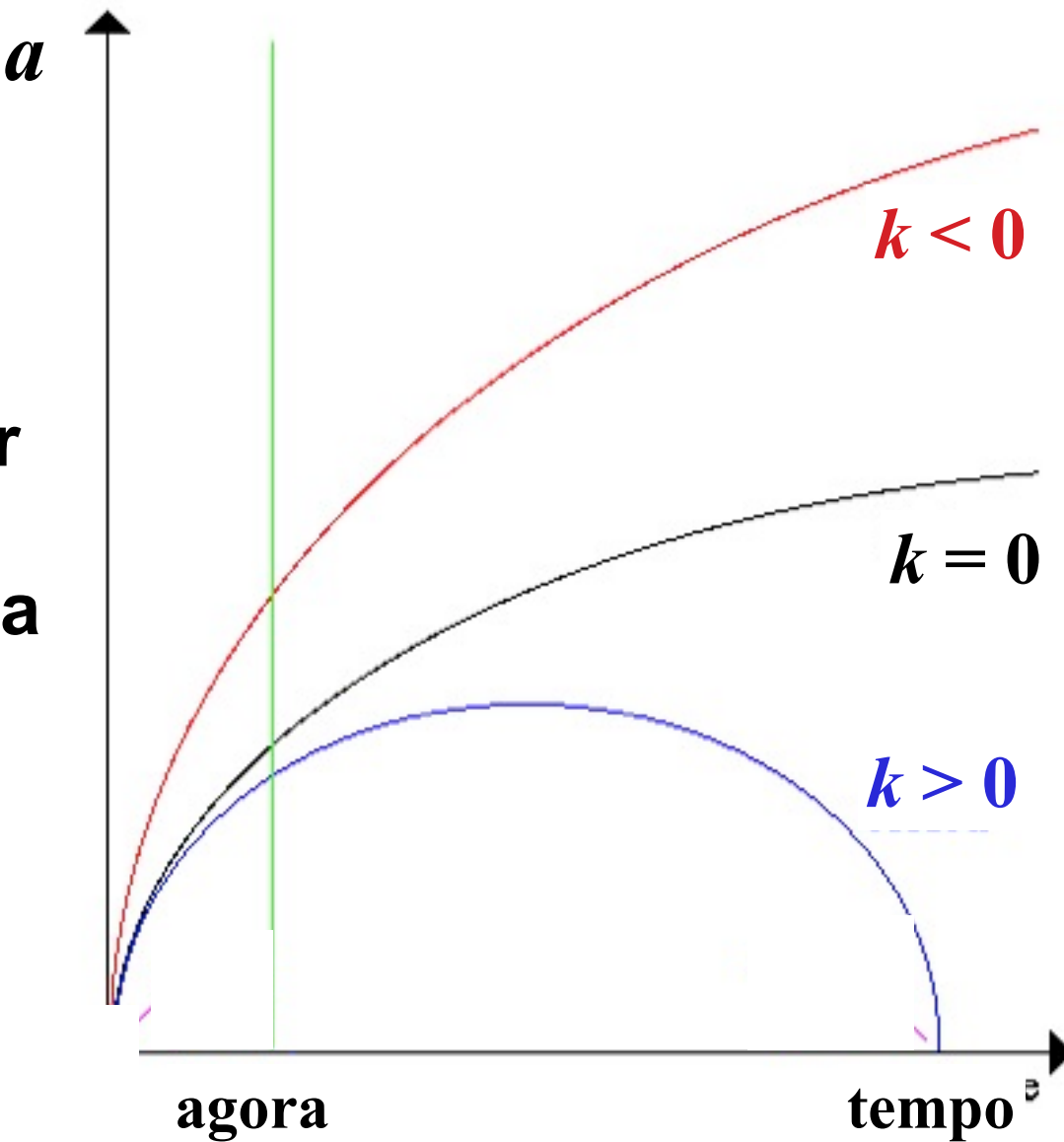


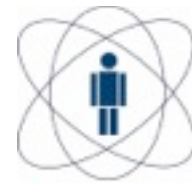


Evolução do Universo ($\Lambda = 0$)

matéria:
 $\rho \propto a^{-3}$

**Fator
de
escala**



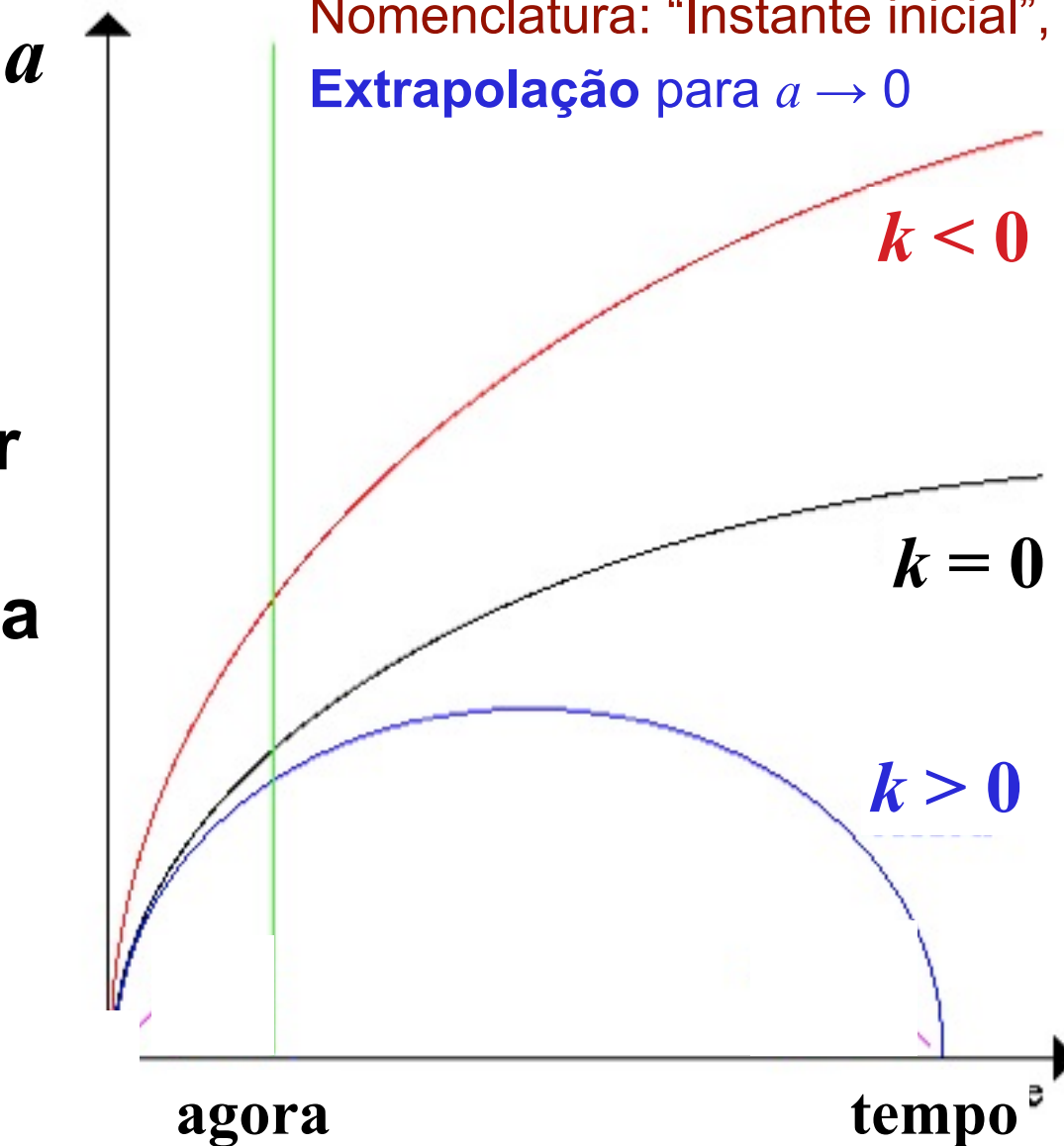


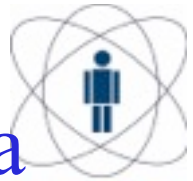
Evolução do Universo ($\Lambda = 0$)

matéria:
 $\rho \propto a^{-3}$

**Fator
de
escala**

Nomenclatura: “Instante inicial”, ou “Big-Bang”:
Extrapolação para $a \rightarrow 0$





Densidade de Energia e Fator de Escala

● Conservação da Energia

$$dE = -pdV$$

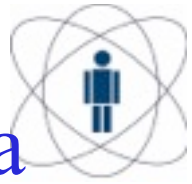


Densidade de Energia e Fator de Escala

● Conservação da Energia

$$dE = -pdV$$

→ **Energia interna**



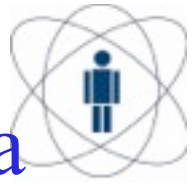
Densidade de Energia e Fator de Escala

● Conservação da Energia

$$dE = -pdV$$

→ **Energia interna**

- **Densidade de energia:** $\rho = \rho_0 + \varepsilon = nmc^2 + \varepsilon$



Densidade de Energia e Fator de Escala

● Conservação da Energia

$$dE = -pdV$$

→ **Energia interna**

- **Densidade de energia:** $\rho = \rho_0 + \varepsilon = nmc^2 + \varepsilon$

$$dE = d(\varepsilon V) = a^3 d\varepsilon + \varepsilon 3a^2 da$$



Densidade de Energia e Fator de Escala

● Conservação da Energia

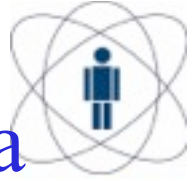
$$dE = -pdV$$

→ **Energia interna**

- **Densidade de energia:** $\rho = \rho_0 + \varepsilon = nmc^2 + \varepsilon$

$$dE = d(\varepsilon V) = a^3 d\varepsilon + \varepsilon 3a^2 da$$

● Conservação da Massa de Repouso



Densidade de Energia e Fator de Escala

● Conservação da Energia

$$dE = -pdV$$

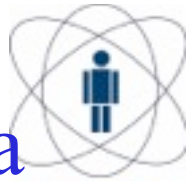
→ **Energia interna**

- **Densidade de energia:** $\rho = \rho_0 + \varepsilon = nmc^2 + \varepsilon$

$$dE = d(\varepsilon V) = a^3 d\varepsilon + \varepsilon 3a^2 da$$

● Conservação da Massa de Repouso

$$dMc^2 = d(\rho_0 V) = a^3 d\rho_0 + \rho_0 3a^2 da = 0$$



Densidade de Energia e Fator de Escala

● Conservação da Energia

$$dE = -pdV$$

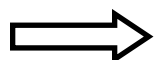
→ **Energia interna**

- **Densidade de energia:** $\rho = \rho_0 + \varepsilon = nmc^2 + \varepsilon$

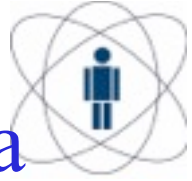
$$dE = d(\varepsilon V) = a^3 d\varepsilon + \varepsilon 3a^2 da$$

● Conservação da Massa de Repouso

$$dMc^2 = d(\rho_0 V) = a^3 d\rho_0 + \rho_0 3a^2 da = 0$$



$$d\rho + 3(\rho + p) \frac{da}{a} = 0$$



Densidade de Energia e Fator de Escala

● Conservação da Energia

$$dE = -pdV$$

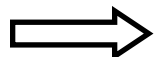
→ **Energia interna**

- **Densidade de energia:** $\rho = \rho_0 + \varepsilon = nmc^2 + \varepsilon$

$$dE = d(\varepsilon V) = a^3 d\varepsilon + \varepsilon 3a^2 da$$

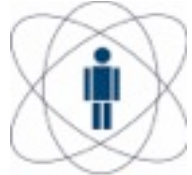
● Conservação da Massa de Repouso

$$dMc^2 = d(\rho_0 V) = a^3 d\rho_0 + \rho_0 3a^2 da = 0$$



$$d\rho + 3(\rho + p) \frac{da}{a} = 0$$

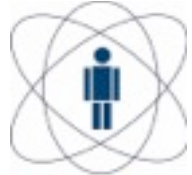
Válida também na
relatividade geral!



Evolução dos Constituintes

- Conservação da energia para cada componente:

$$d\rho_i + 3(\rho_i + p_i) \frac{da}{a} = 0$$

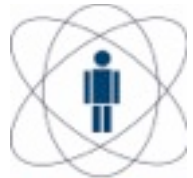


Evolução dos Constituintes

- Conservação da energia para cada componente:

$$d\rho_i + 3(\rho_i + p_i) \frac{da}{a} = 0$$

Exemplo 1: bárions (hoje), matéria escura: $p = 0$



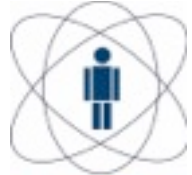
Evolução dos Constituintes

- Conservação da energia para cada componente:

$$d\rho_i + 3(\rho_i + p_i) \frac{da}{a} = 0$$

Exemplo 1: bárions (hoje), matéria escura: $p = 0$

$$\Rightarrow \rho_M \propto a^{-3}$$



Evolução dos Constituintes

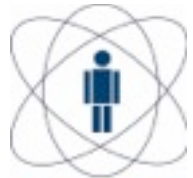
- Conservação da energia para cada componente:

$$d\rho_i + 3(\rho_i + p_i) \frac{da}{a} = 0$$

Exemplo 1: bárions (hoje), matéria escura: $p = 0$

$$\Rightarrow \rho_M \propto a^{-3}$$

Exemplo 2: radiação: $p = \rho/3$



Evolução dos Constituintes

- Conservação da energia para cada componente:

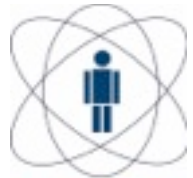
$$d\rho_i + 3(\rho_i + p_i) \frac{da}{a} = 0$$

Exemplo 1: bárions (hoje), matéria escura: $p = 0$

$$\Rightarrow \rho_M \propto a^{-3}$$

Exemplo 2: radiação: $p = \rho/3$

$$\Rightarrow \rho_r \propto a^{-4}$$



Evolução dos Constituintes

- Conservação da energia para cada componente:

$$d\rho_i + 3(\rho_i + p_i) \frac{da}{a} = 0$$

Exemplo 1: bárions (hoje), matéria escura: $p = 0$

$$\Rightarrow \rho_M \propto a^{-3}$$

Exemplo 2: radiação: $p = \rho/3$

$$\Rightarrow \rho_r \propto a^{-4} \quad \rho_\gamma = \sigma T^4$$



Evolução dos Constituintes

- Conservação da energia para cada componente:

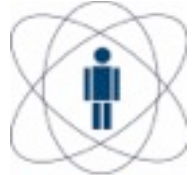
$$d\rho_i + 3(\rho_i + p_i) \frac{da}{a} = 0$$

Exemplo 1: bárions (hoje), matéria escura: $p = 0$

$$\Rightarrow \rho_M \propto a^{-3}$$

Exemplo 2: radiação: $p = \rho/3$

$$\Rightarrow \rho_r \propto a^{-4} \quad \rho_\gamma = \sigma T^4 \rightarrow T_\gamma \propto a^{-1}$$



Evolução dos Constituintes

- Conservação da energia para cada componente:

$$d\rho_i + 3(\rho_i + p_i) \frac{da}{a} = 0$$

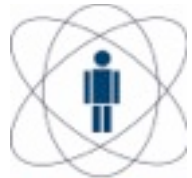
Exemplo 1: bárions (hoje), matéria escura: $p = 0$

$$\Rightarrow \rho_M \propto a^{-3}$$

Exemplo 2: radiação: $p = \rho/3$

$$\Rightarrow \rho_r \propto a^{-4} \quad \rho_\gamma = \sigma T^4 \quad \rightarrow \quad T_\gamma \propto a^{-1}$$

Exemplo 3: “vácuo”: $p = -\rho$



Evolução dos Constituintes

- Conservação da energia para cada componente:

$$d\rho_i + 3(\rho_i + p_i) \frac{da}{a} = 0$$

Exemplo 1: bárions (hoje), matéria escura: $p = 0$

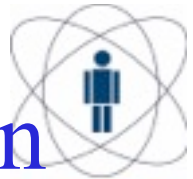
$$\Rightarrow \rho_M \propto a^{-3}$$

Exemplo 2: radiação: $p = \rho/3$

$$\Rightarrow \rho_r \propto a^{-4} \quad \rho_\gamma = \sigma T^4 \quad \rightarrow \quad T_\gamma \propto a^{-1}$$

Exemplo 3: “vácuo”: $p = -\rho$

$$\Rightarrow \rho_v = \text{const.}$$



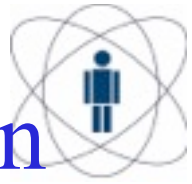
Soluções da Equação de Friedmann

Equação de Friedmann

$$\dot{a}^2 = \frac{8\pi G}{3} a^2 \rho - K$$

Conservação da energia

$$\frac{d\rho}{da} + \frac{3}{a}(\rho + p) = 0$$



Soluções da Equação de Friedmann

Equação de Friedmann

$$\dot{a}^2 = \frac{8\pi G}{3} a^2 \rho - K$$

Conservação da energia

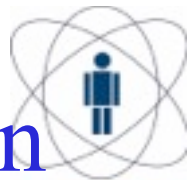
$$\frac{d\rho}{da} + \frac{3}{a}(\rho + p) = 0$$

- $K = 0$

- Radiação $\Rightarrow a \propto t^{1/2}$

- Matéria \Rightarrow (Einstein-de Sitter)

- “Vácuo” \Rightarrow (De Sitter)



Soluções da Equação de Friedmann

Equação de Friedmann

$$\dot{a}^2 = \frac{8\pi G}{3} a^2 \rho - K$$

Conservação da energia

$$\frac{d\rho}{da} + \frac{3}{a}(\rho + p) = 0$$

- $K = 0$

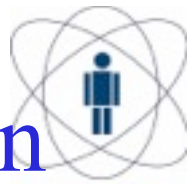
- Radiação $\Rightarrow a \propto t^{1/2}$

- Matéria $\Rightarrow a \propto t^{2/3}$ (Einstein-de Sitter)

- “Vácuo” $\Rightarrow a \propto e^{Ht}$ (De Sitter)

- $K \neq 0$

- “Vazio” $\Rightarrow a \propto t$



Soluções da Equação de Friedmann

Equação de Friedmann

$$\dot{a}^2 = \frac{8\pi G}{3} a^2 \rho - K$$

Conservação da energia

$$\frac{d\rho}{da} + \frac{3}{a}(\rho + p) = 0$$

- $K = 0$

- Radiação $\Rightarrow a \propto t^{1/2}$

- Matéria $\Rightarrow a \propto t^{2/3}$ (Einstein-de Sitter)

- “Vácuo” $\Rightarrow a \propto e^{Ht}$ (De Sitter)

- $K \neq 0$

- “Vazio” $\Rightarrow a \propto t$

Exercício:
 $p = w \rho$